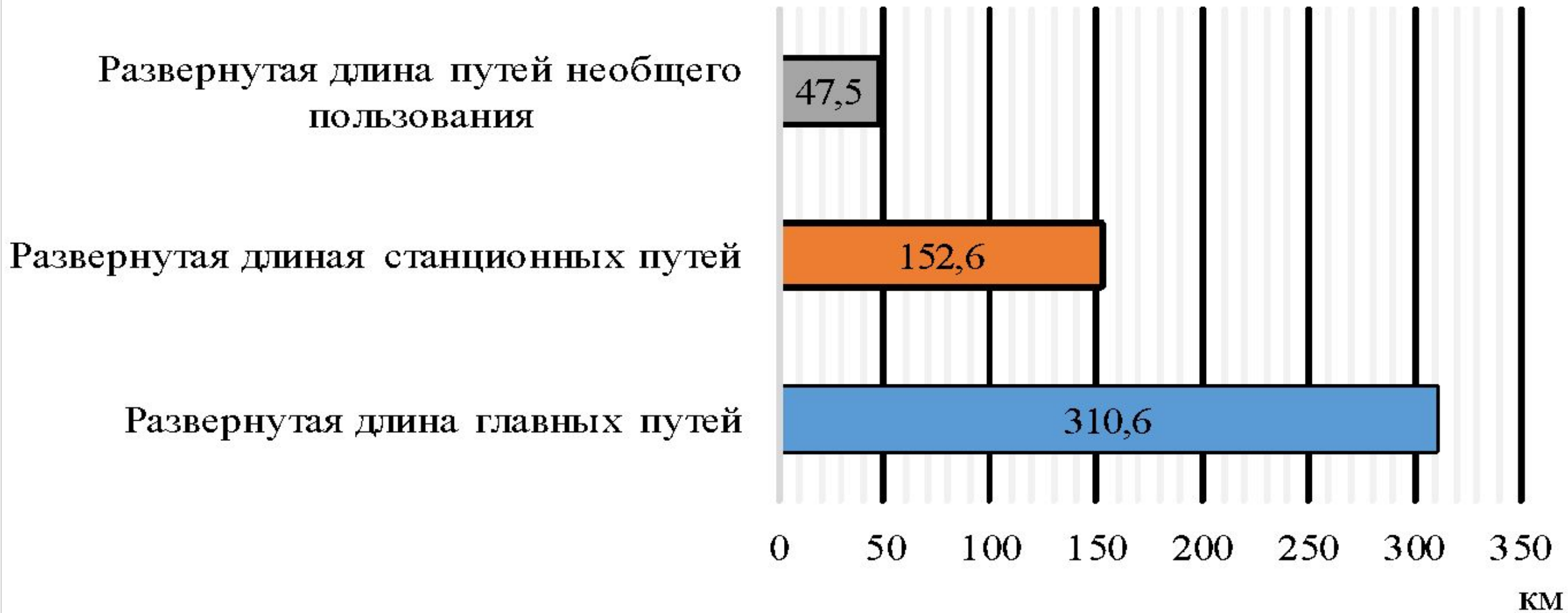
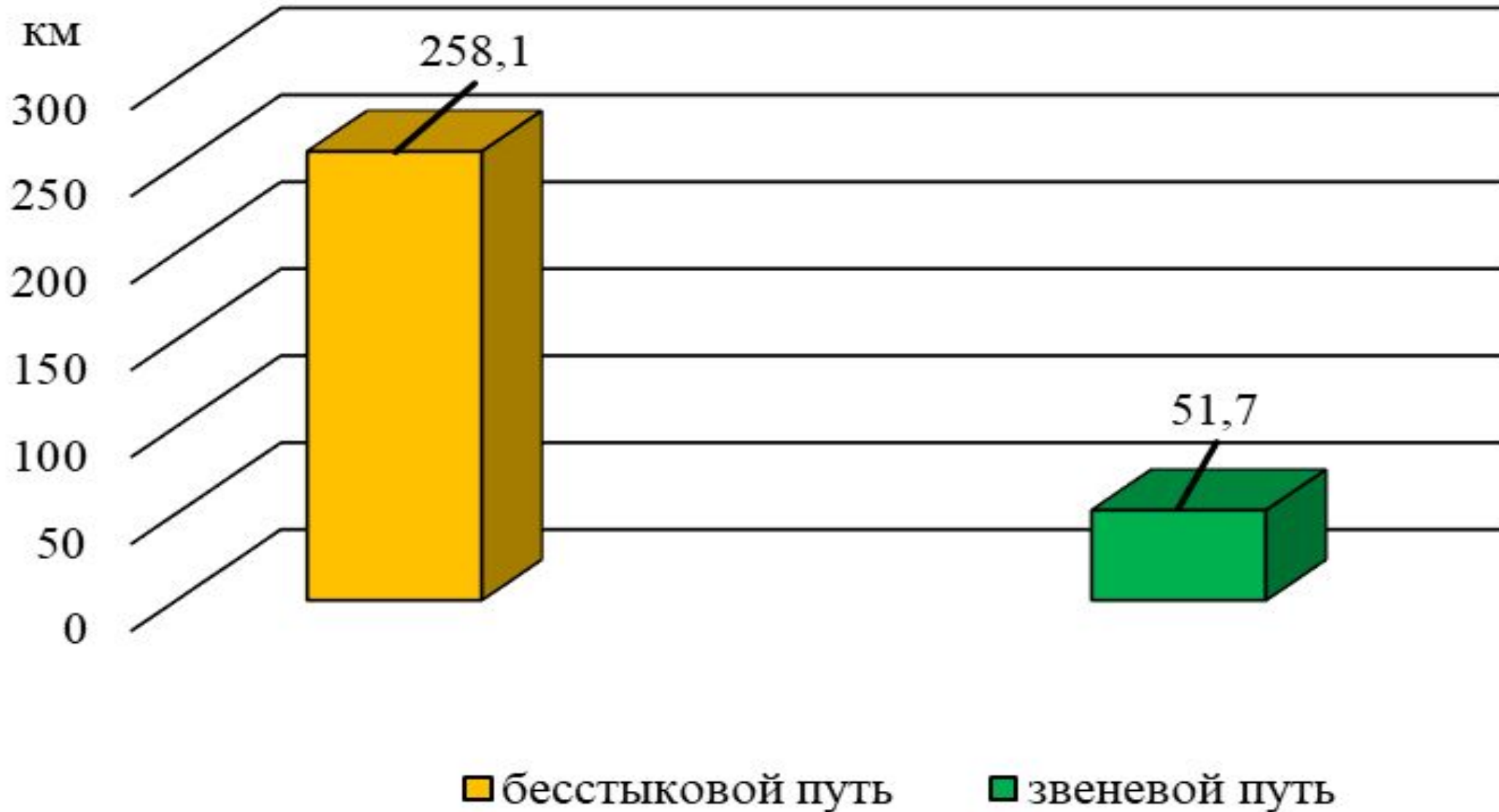


Основные показатели
Жлобинской дистанции
пути за 2018 год

Развернутая длина путей по состоянию на 01.01.2019 года

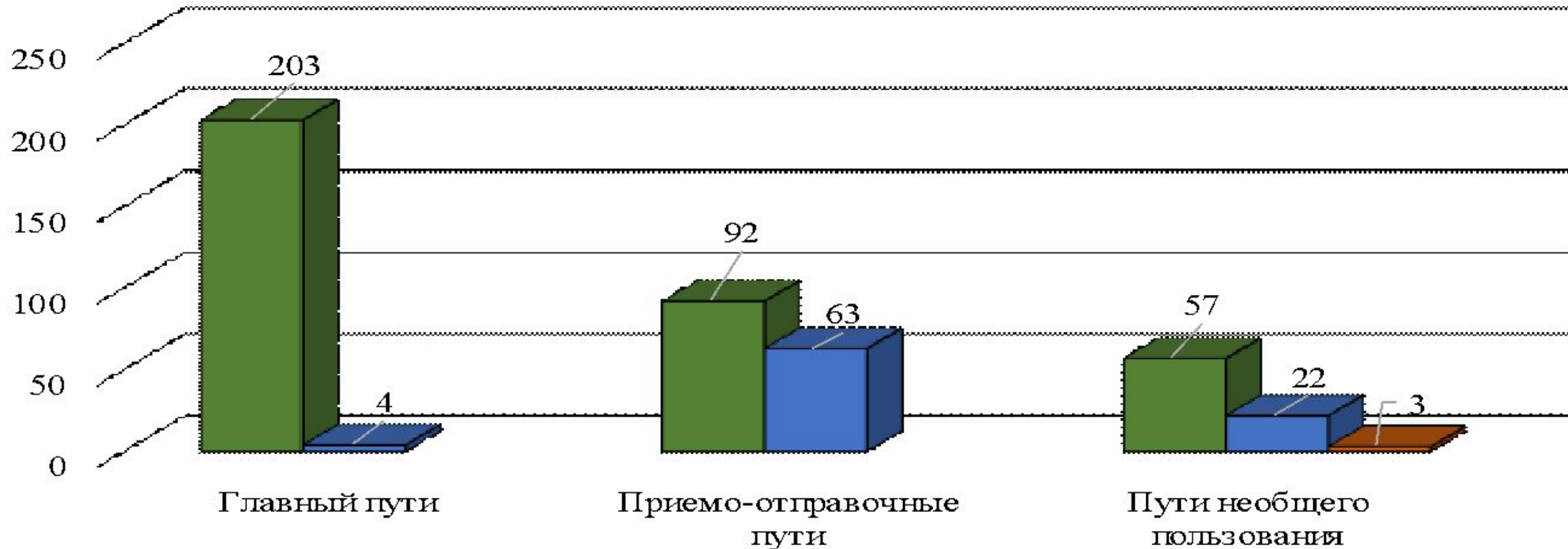


Конструкция путей на главном ходу



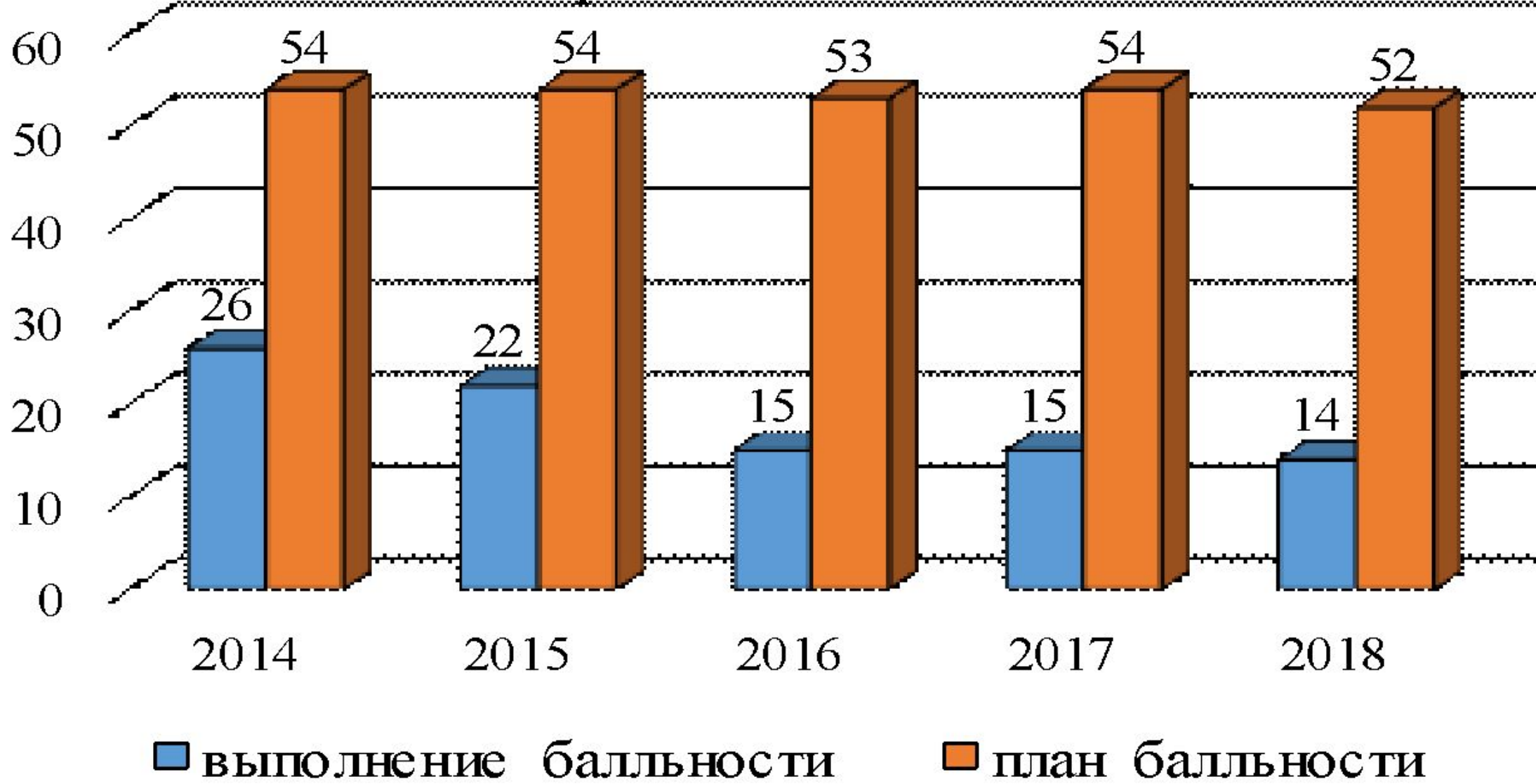
Характеристика стрелочных переводов по состоянию на 01.01.2019 года

шт

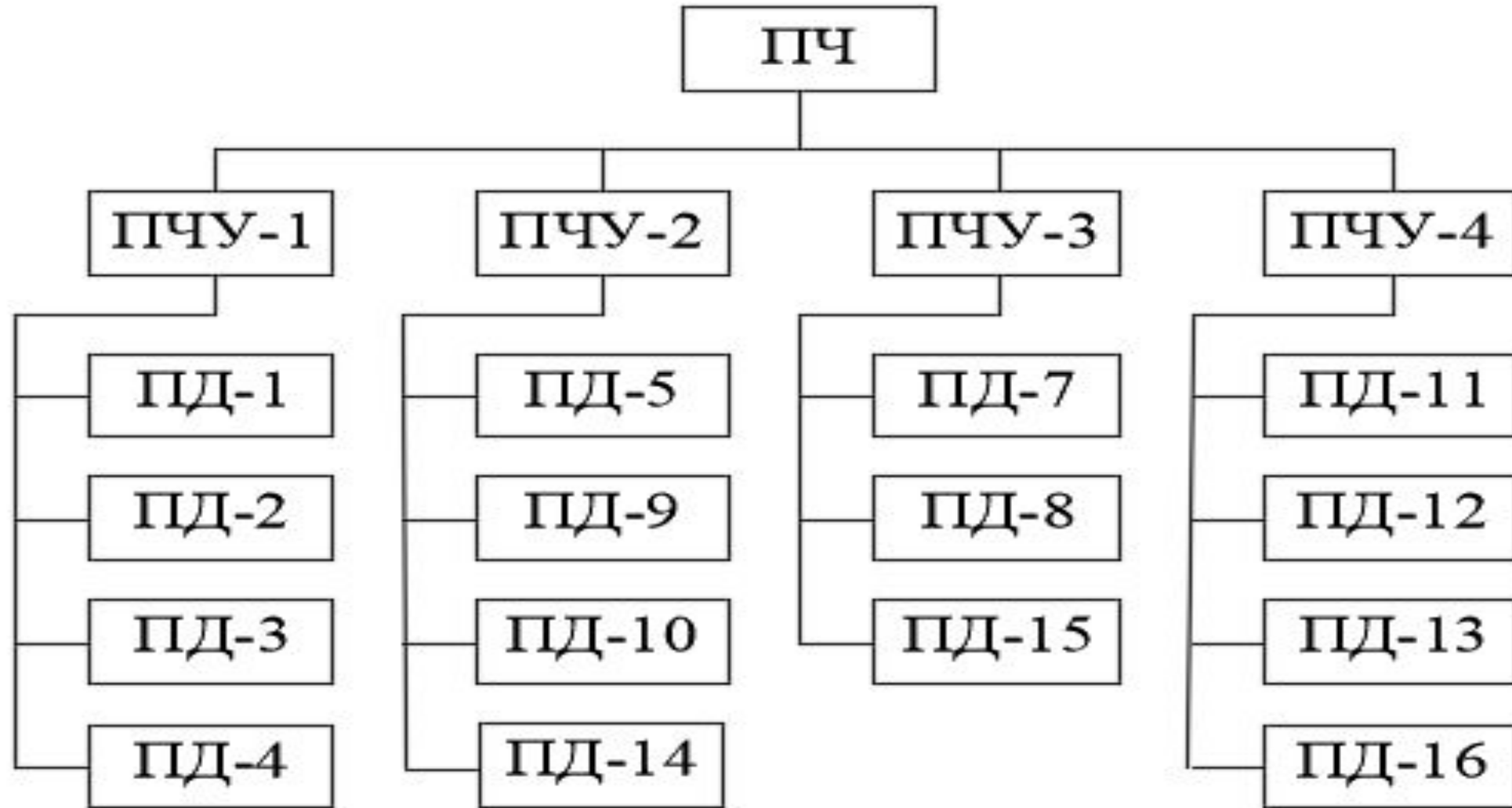


■ стрелочные переводы типа Р65 ■ стрелочные переводы типа Р50 ■ стрелочные переводы типа Р43

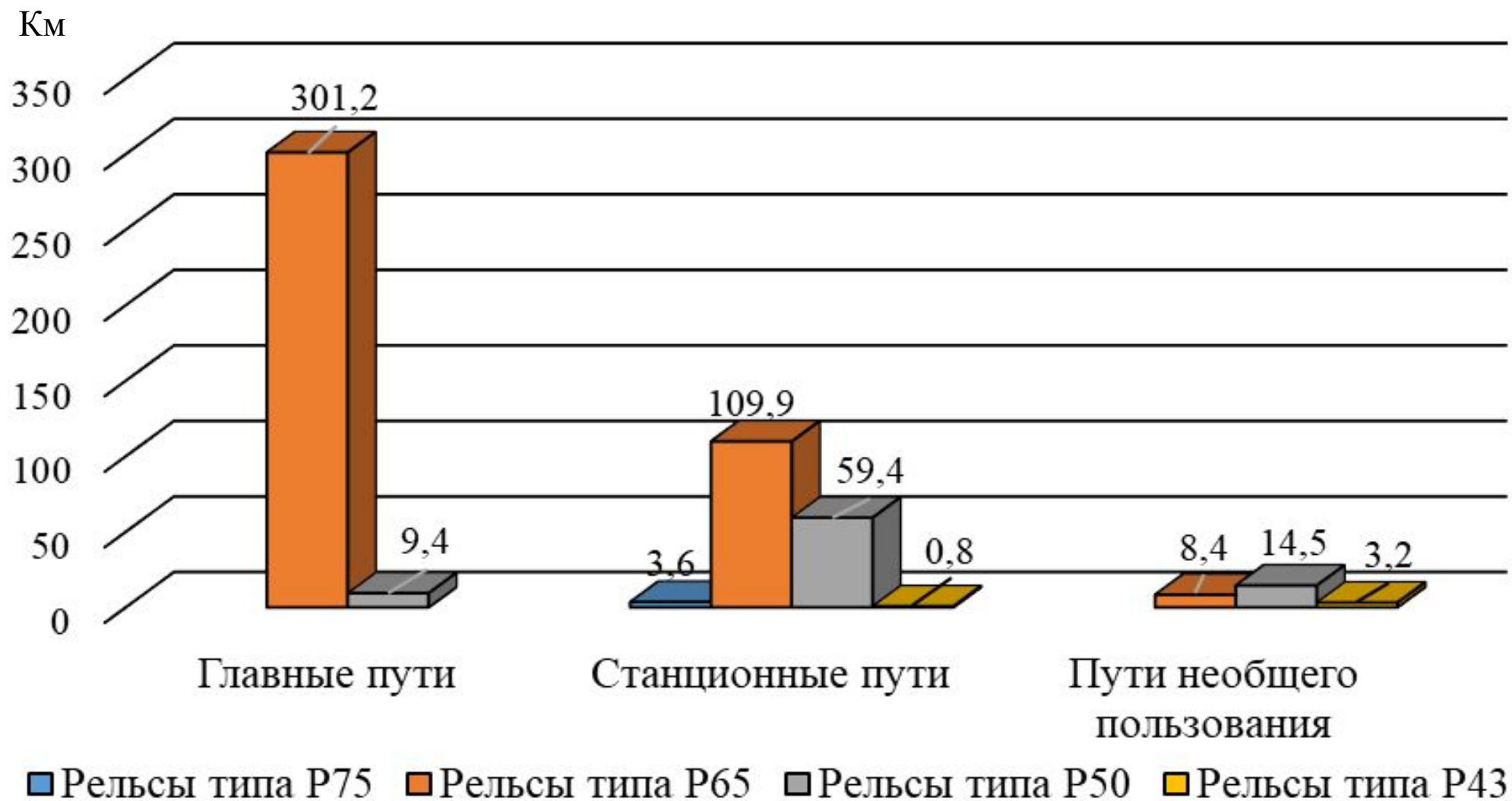
Оценка состояния рельсовой колеи Жлобинской дистанции за период с 2014 года по 2018 год



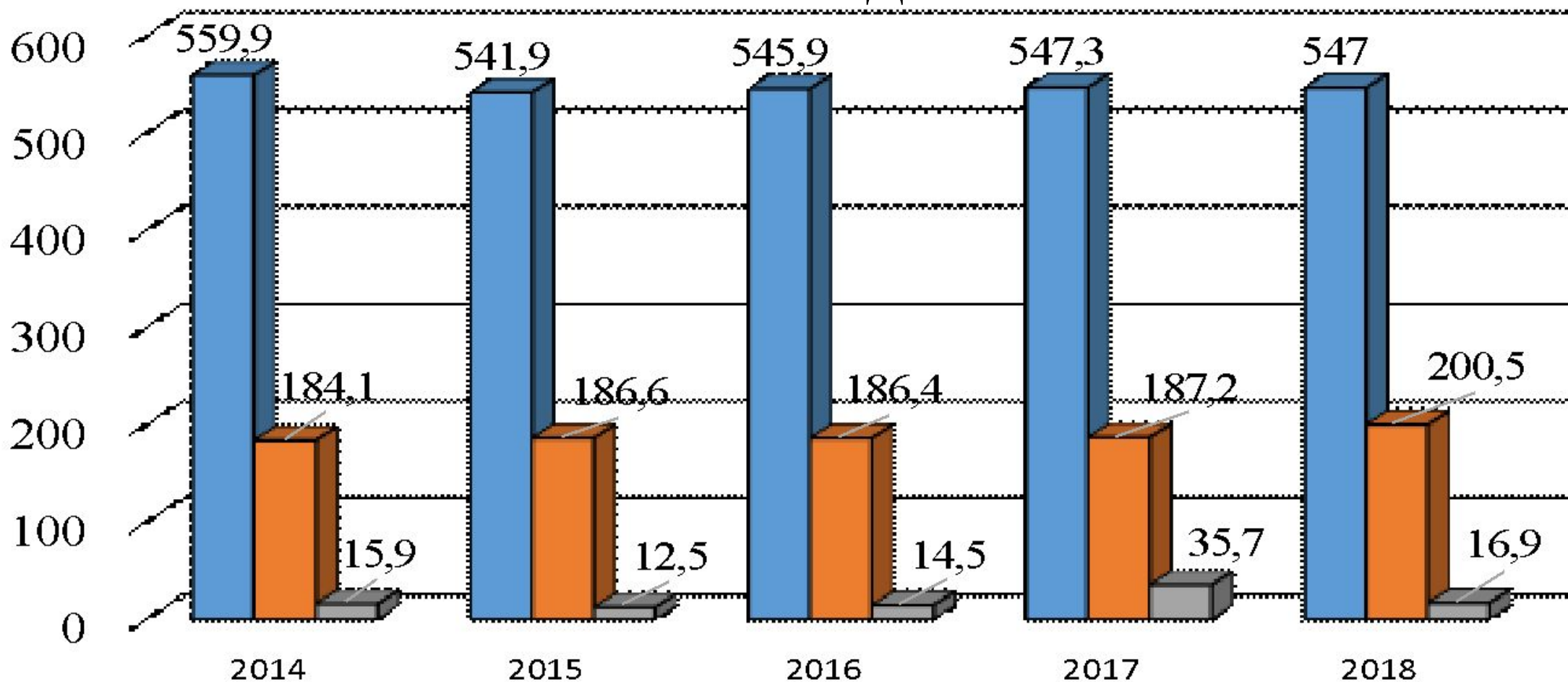
Административное деление Жлобинской дистанции пути



Мощность рельсов дистанции пути по состоянию на 01.01.2019 года

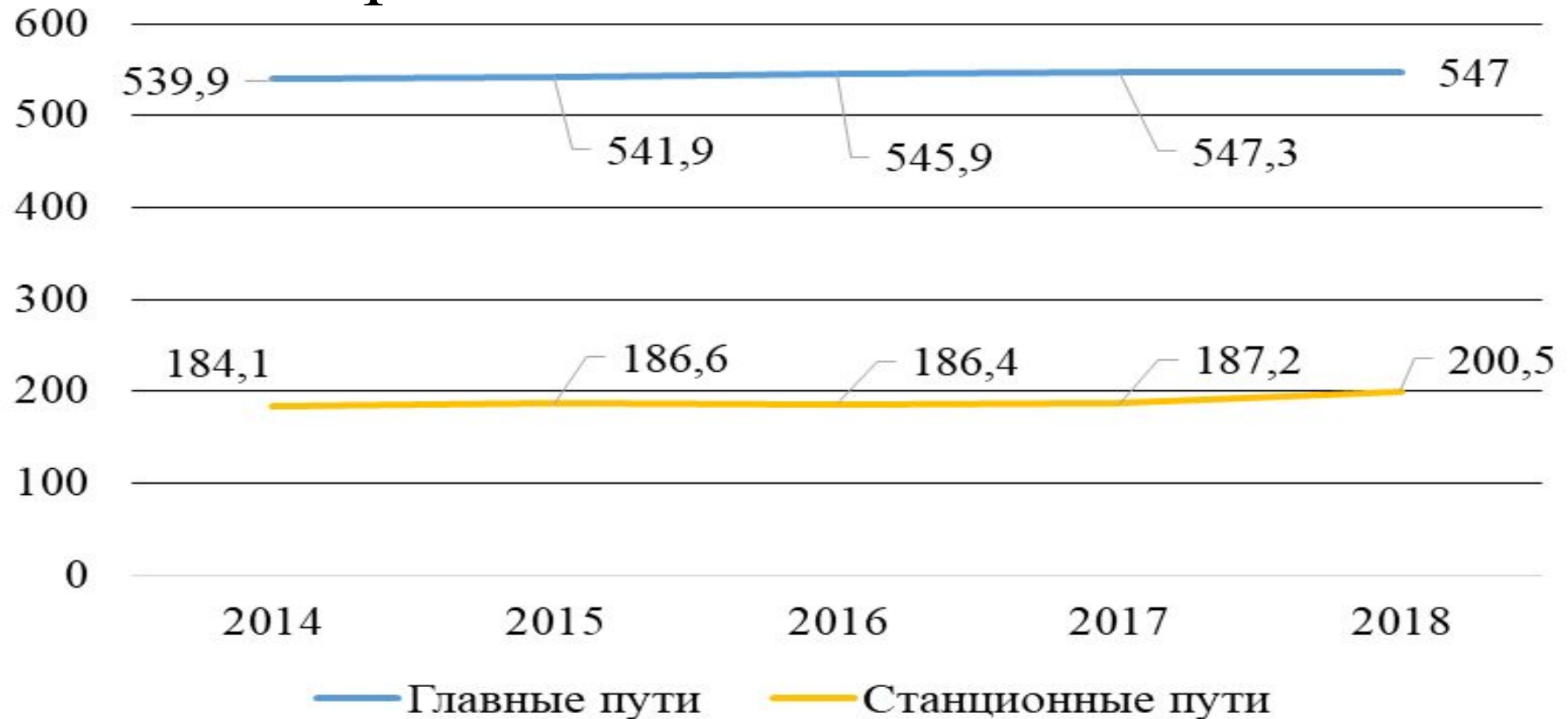


Характеристика шпал с распределением их по назначению путей за период с 2014 года по 2018 год

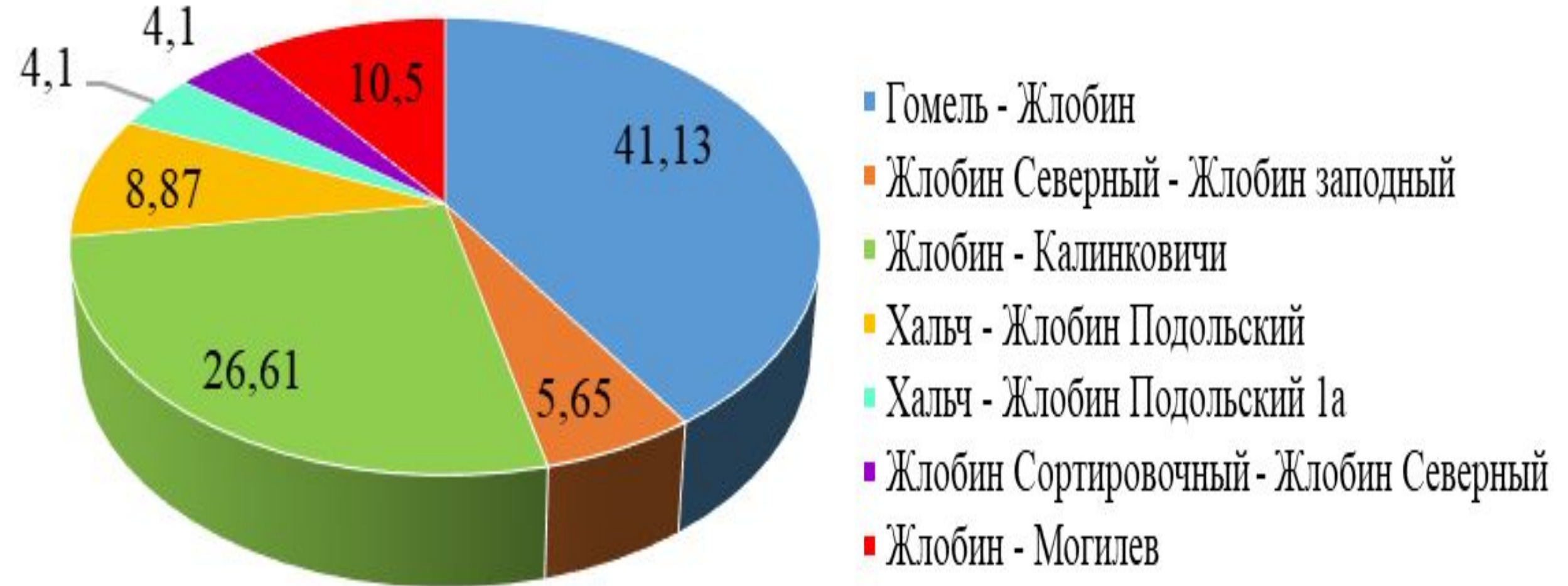


■ Главные пути ■ Станционные пути ■ Пути необщего пользования

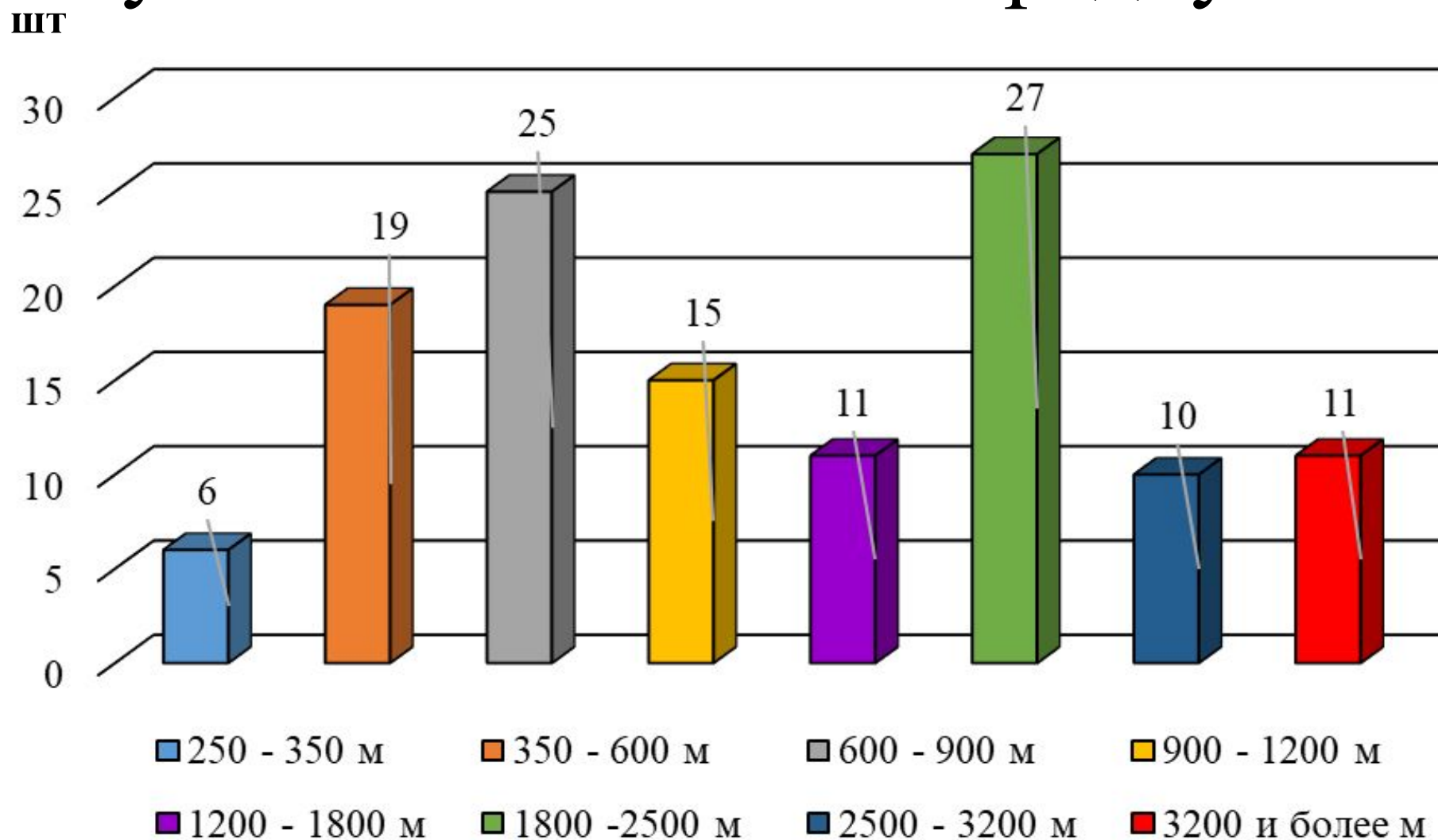
Анализ изменения железобетонных шпал, лежащих в главных и станционных путях за период с 2014 года по 2018 год



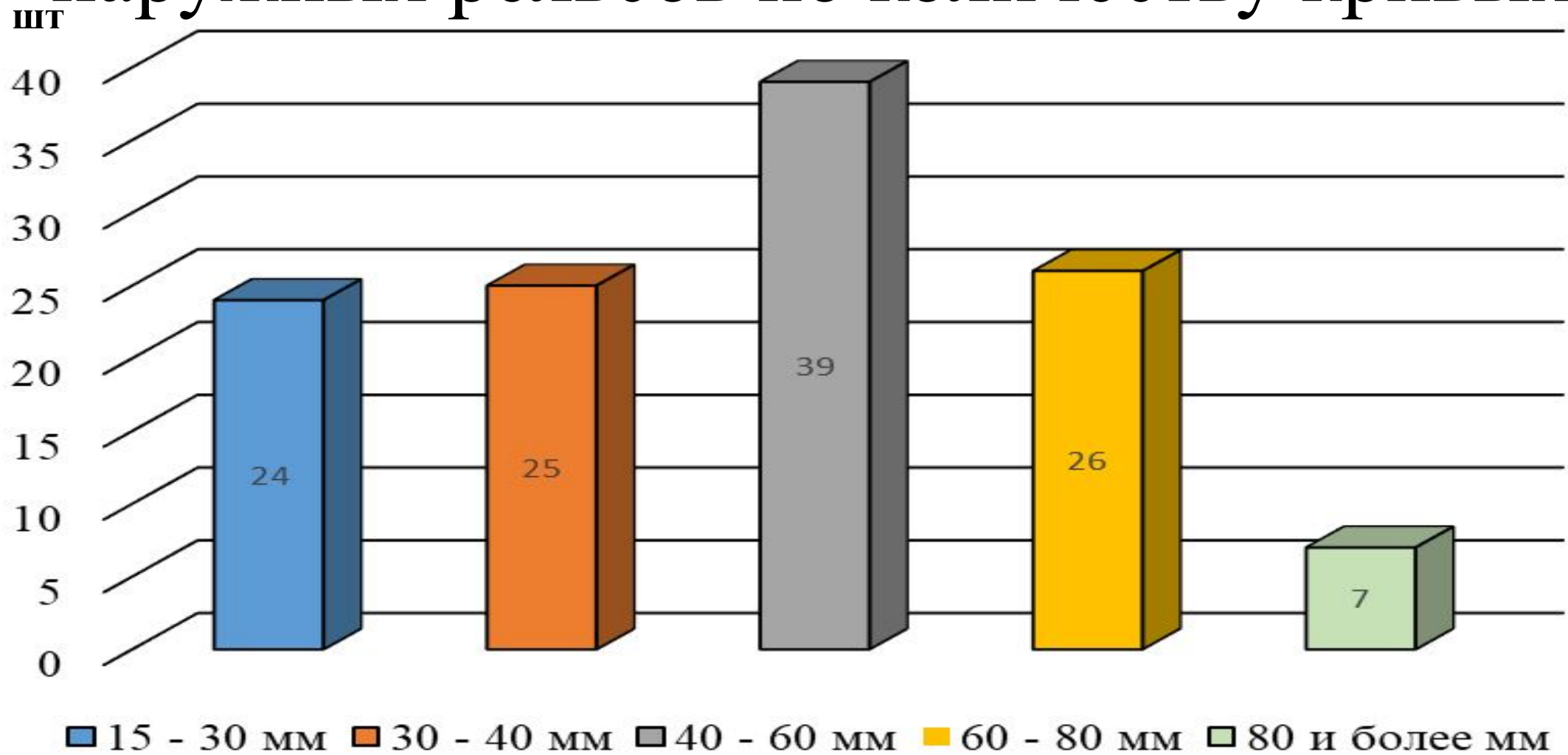
Процентное расположение криволинейных участков пути



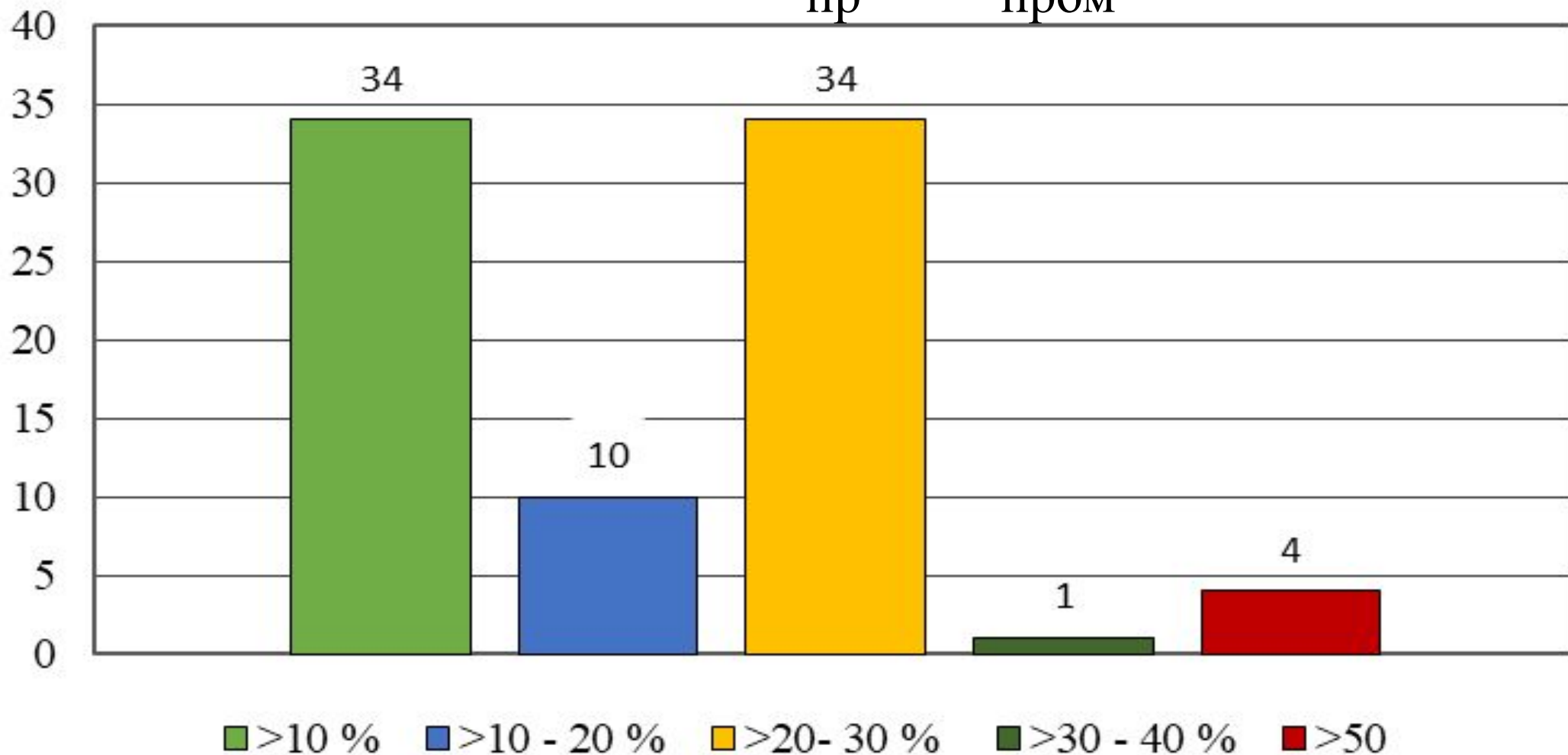
Распределение количества криволинейных участков по величине радиусов



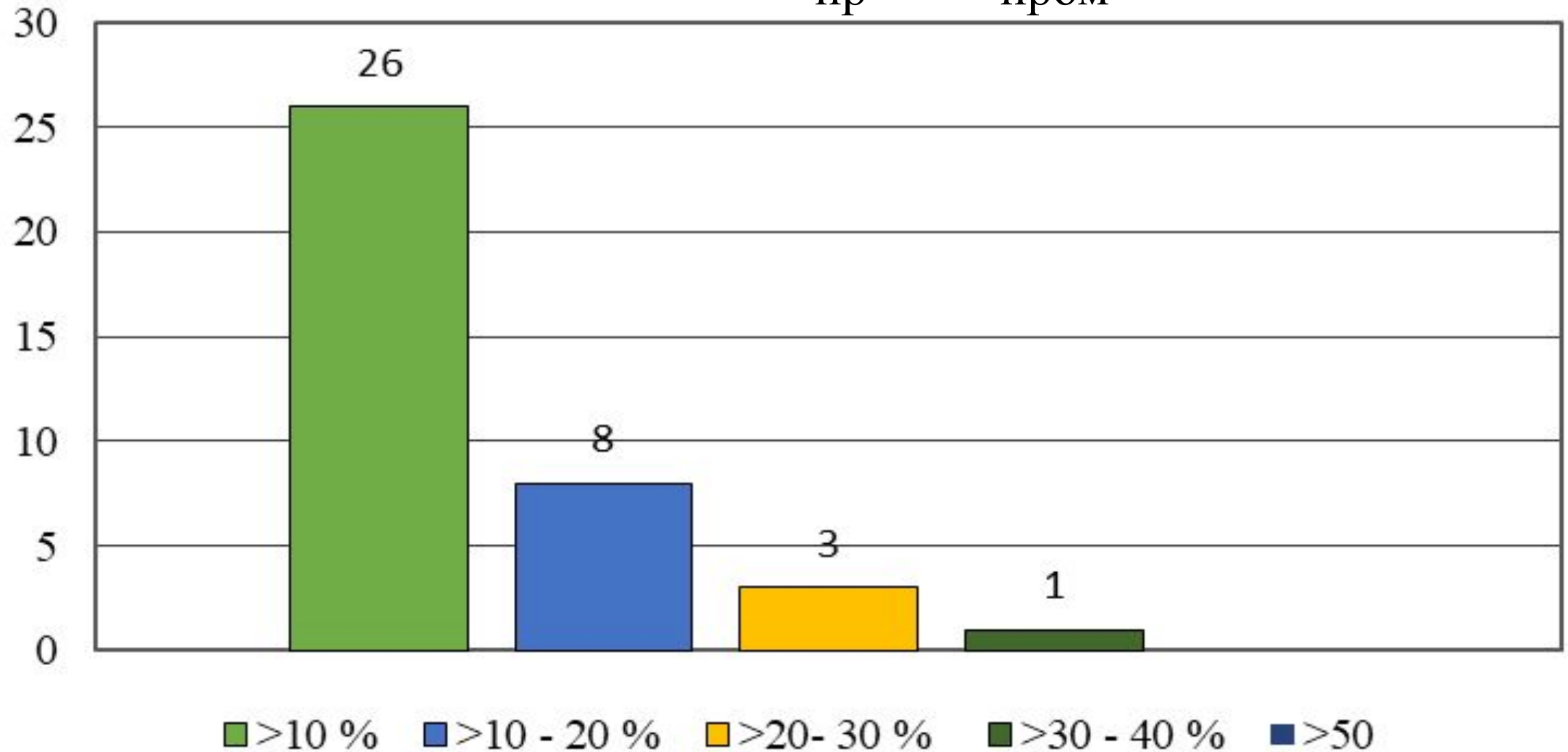
Распределение величин возвышения наружных рельсов по количеству кривых



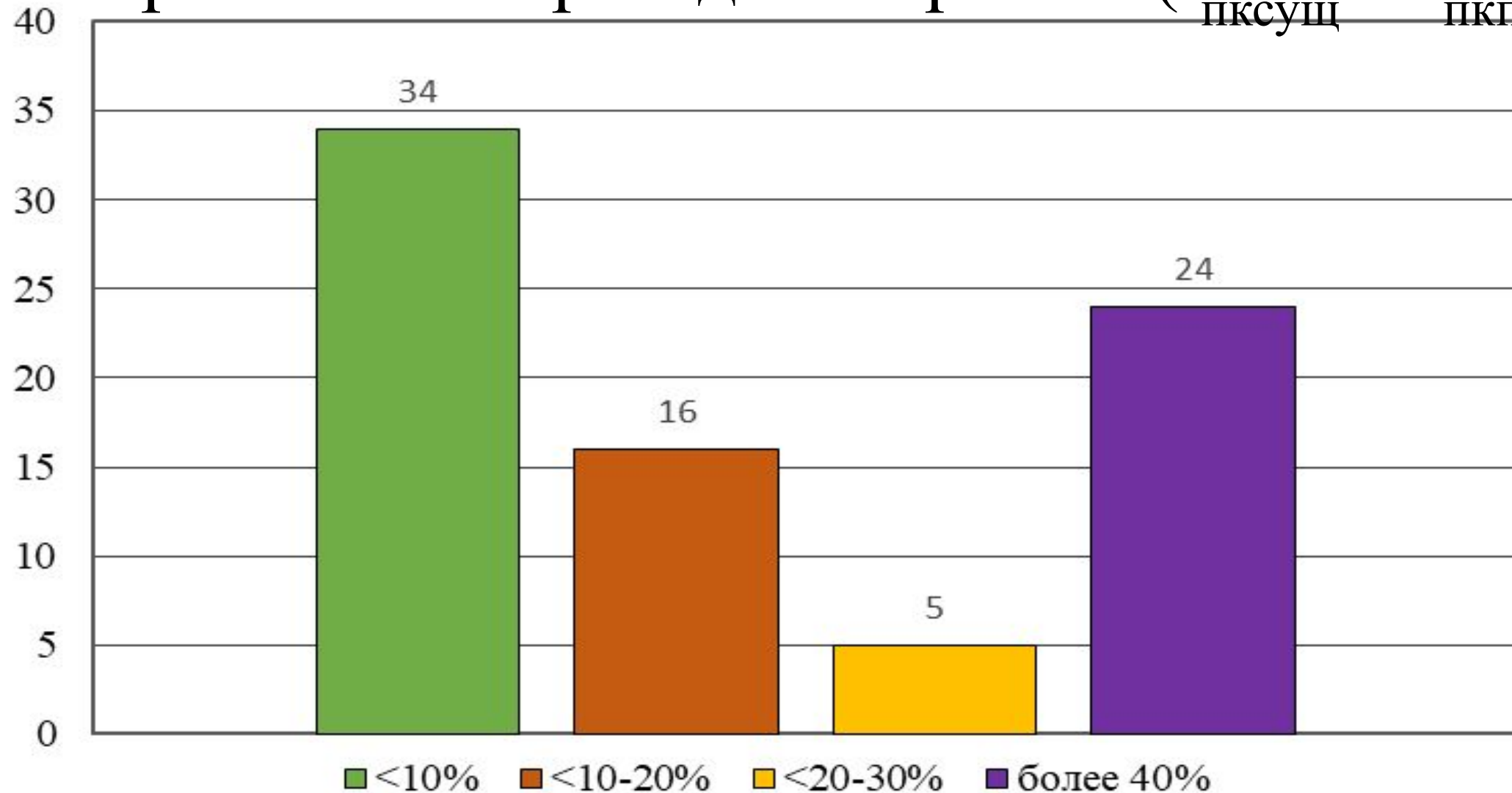
Расхождения количества кривых участков с несовпадением существующего и проектного радиуса ($R_{\text{пр}} < R_{\text{пром}}$)



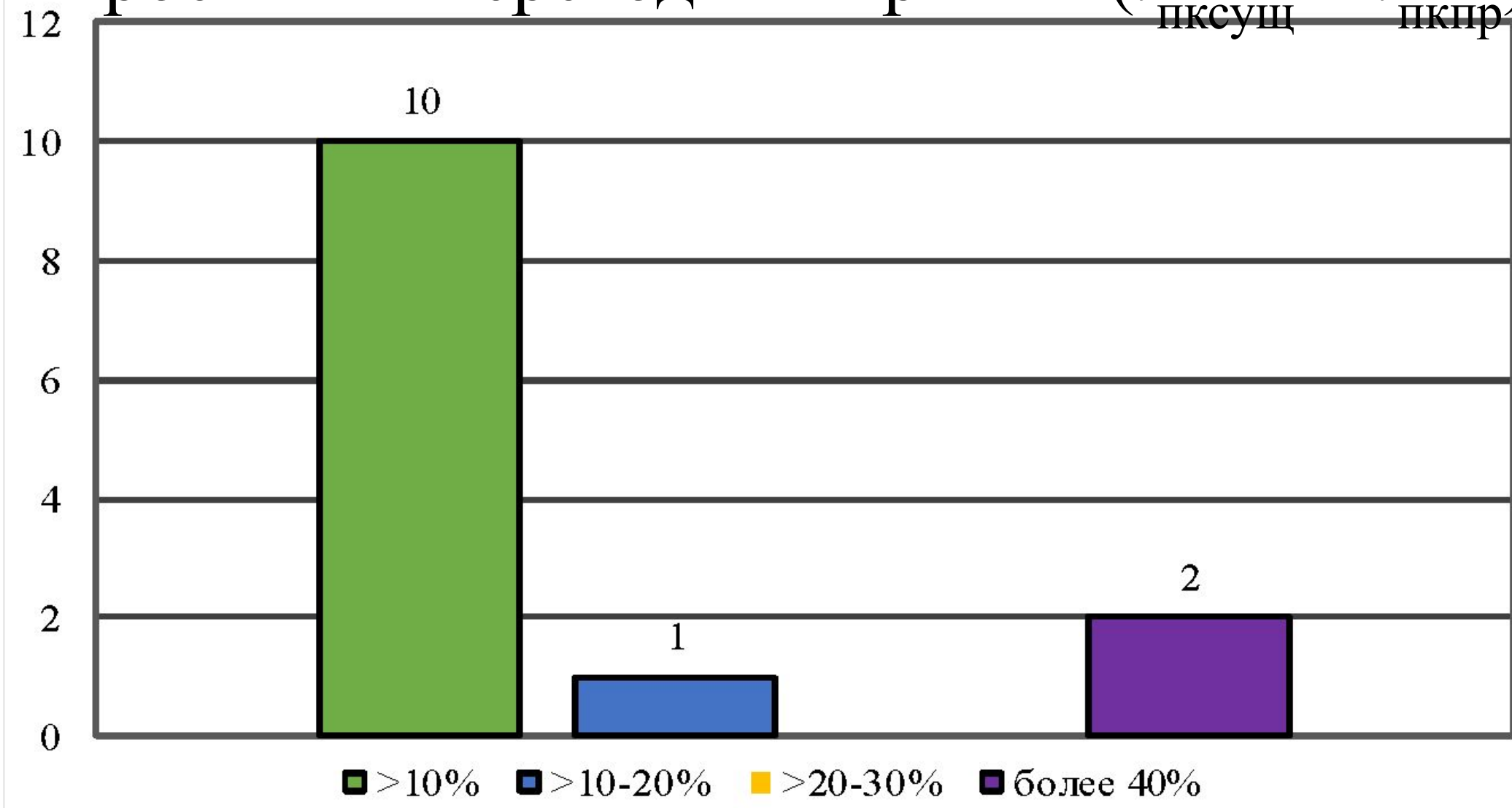
Расхождения количества кривых участков с несовпадением существующего и проектного радиуса ($R_{пр} > R_{пром}$)



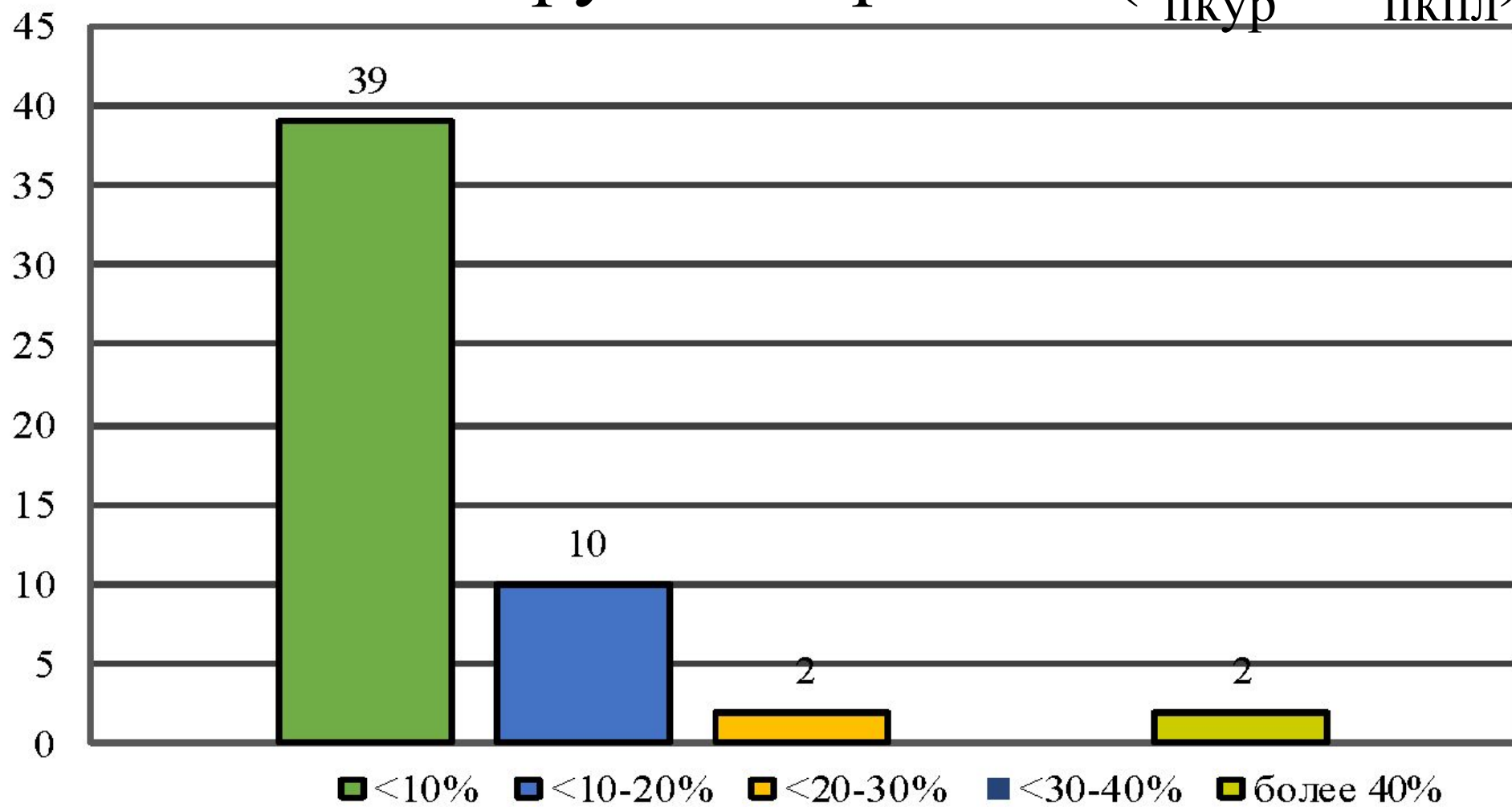
Расхождения количества кривых участкуов, имеющих несовпадение длин существующих и проектных переходных кривых ($l_{\text{пксущ}} < l_{\text{пкпр}}$)



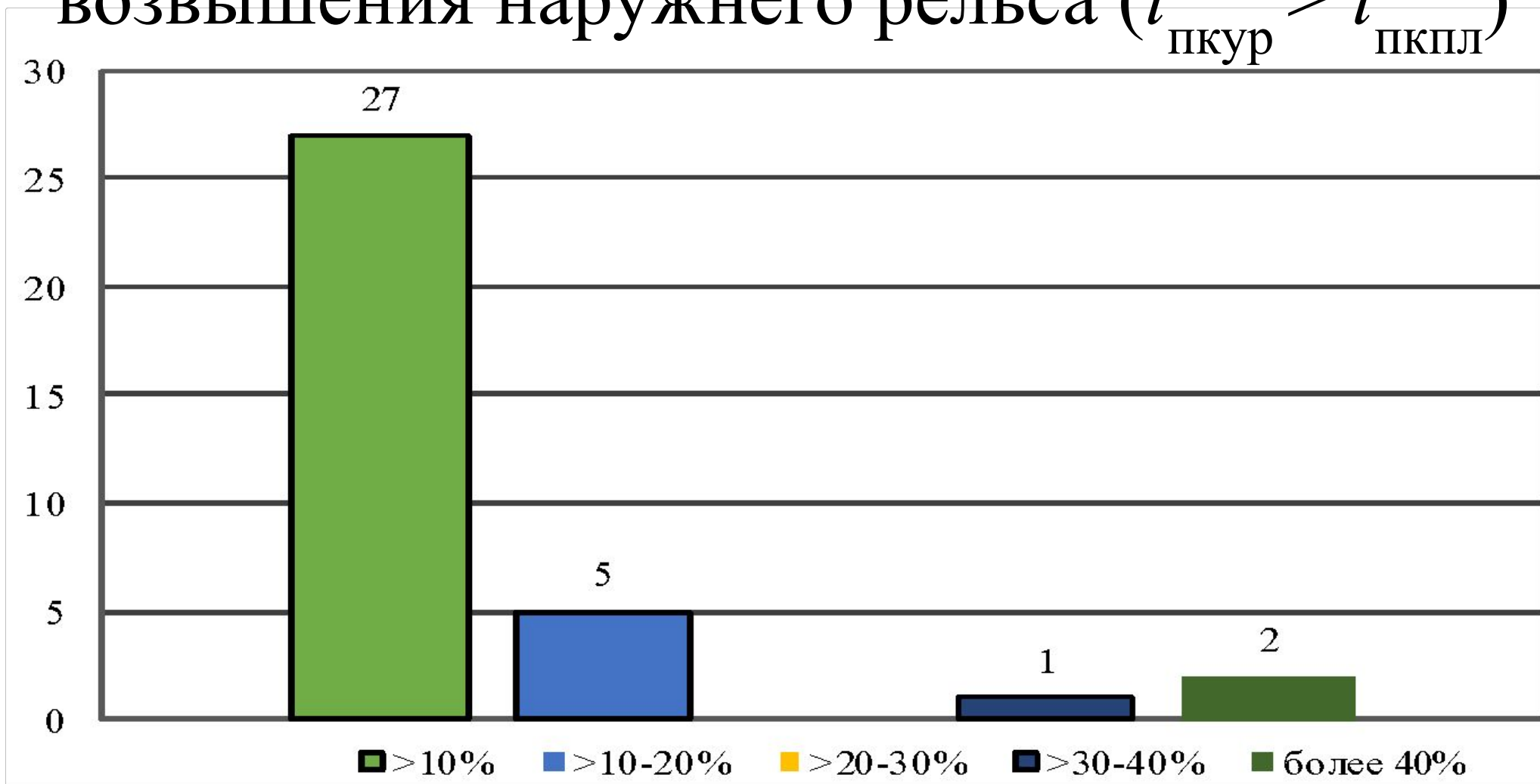
Расхождения количества кривых участкуов, имеющих несовпадение длинн существующих и проектных переходных кривых ($l_{\text{пксущ}} > l_{\text{пкпр}}$)



Распределение количества кривых участков пути, имеющих несоответствие длины переходных кривых в плане и длине переходных кривых по отводу возвышения наружного рельса ($l_{ПКур} < l_{ПКПЛ}$)

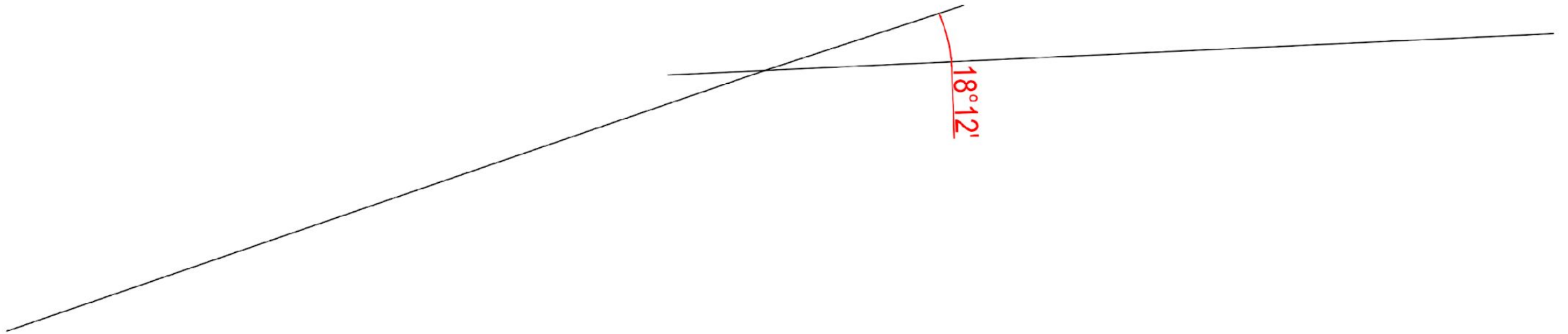


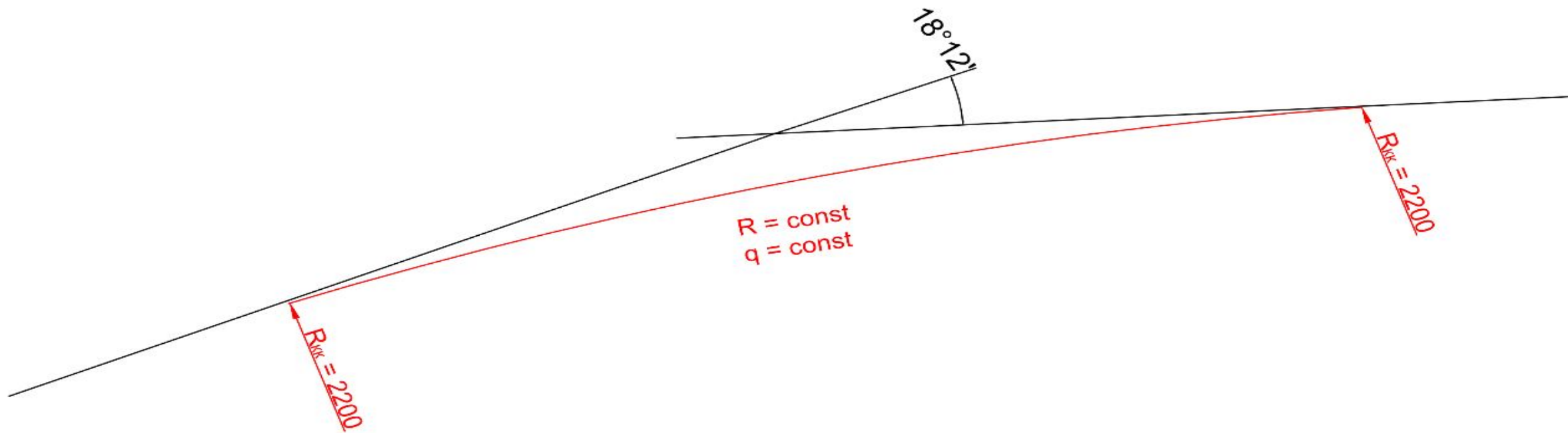
Распределение количества кривых участков пути, имеющих несоответствие длины переходных кривых в плане и длине переходных кривых по отводу возвышения наружного рельса ($l_{\text{пкур}} > l_{\text{пкпл}}$)



**КРИВОЛИНЕЙНЫЙ УЧАСТОК ПО
НАПРАВЛЕНИЮ ЖЛОБИН-ГОМЕЛЬ
ПК 275 + 556 – ПК 276 + 373**

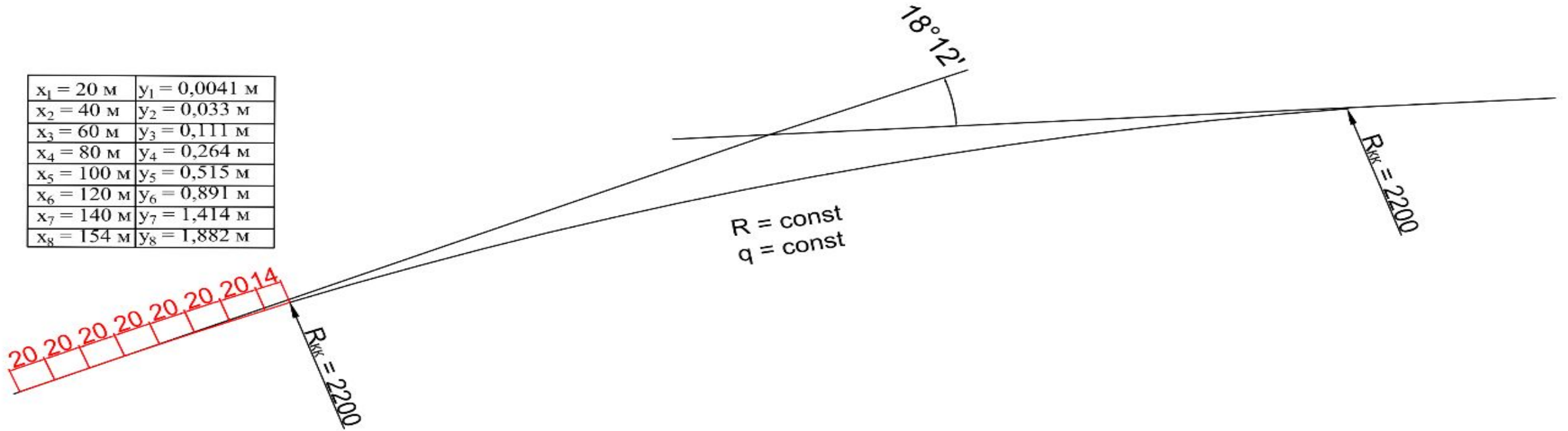
**Угол поворота
существующей
кривой $18^{\circ} 12'$**



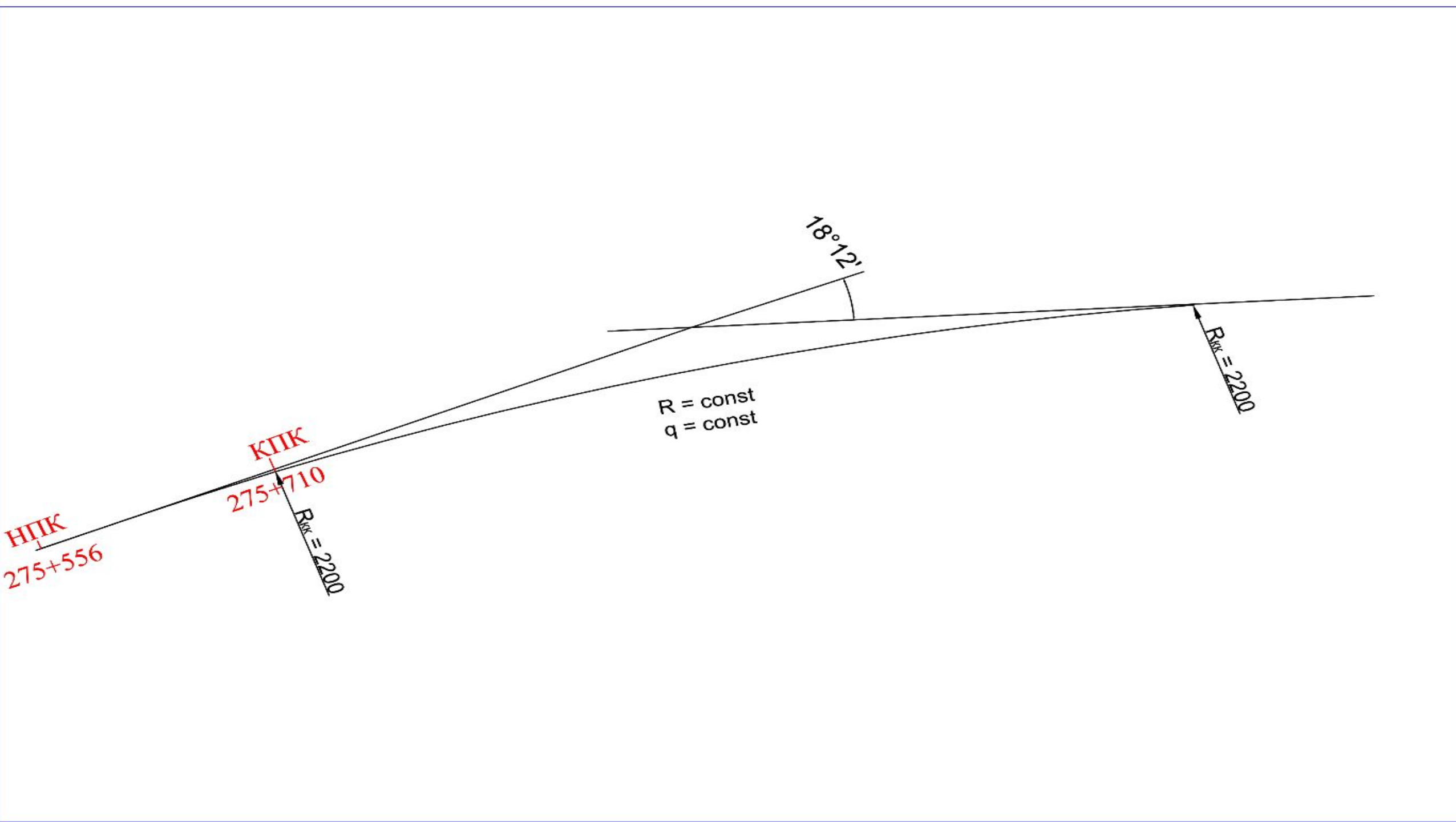


Радиус существующей круговой кривой 2100 м.

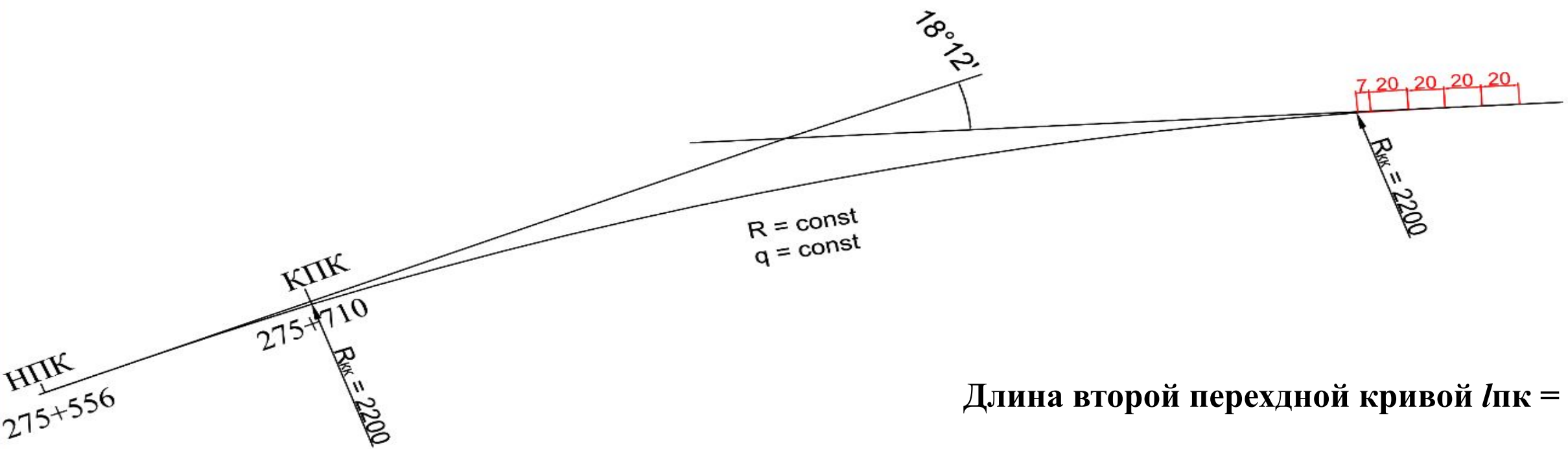
$x_1 = 20 \text{ м}$	$y_1 = 0,0041 \text{ м}$
$x_2 = 40 \text{ м}$	$y_2 = 0,033 \text{ м}$
$x_3 = 60 \text{ м}$	$y_3 = 0,111 \text{ м}$
$x_4 = 80 \text{ м}$	$y_4 = 0,264 \text{ м}$
$x_5 = 100 \text{ м}$	$y_5 = 0,515 \text{ м}$
$x_6 = 120 \text{ м}$	$y_6 = 0,891 \text{ м}$
$x_7 = 140 \text{ м}$	$y_7 = 1,414 \text{ м}$
$x_8 = 154 \text{ м}$	$y_8 = 1,882 \text{ м}$



Длина первой переходной кривой $l_{пк} = 154 \text{ м}$



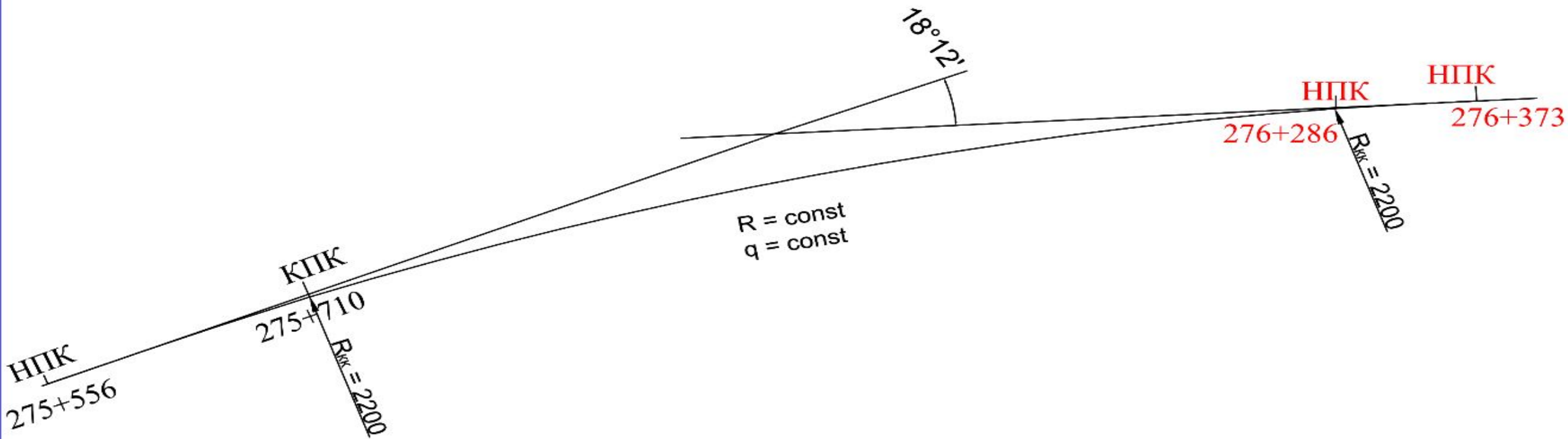
$x_1 = 20 \text{ м}$	$y_1 = 0,0073 \text{ м}$
$x_2 = 40 \text{ м}$	$y_2 = 0,058 \text{ м}$
$x_3 = 60 \text{ м}$	$y_2 = 0,197 \text{ м}$
$x_4 = 80 \text{ м}$	$y_2 = 0,467 \text{ м}$
$x_5 = 87 \text{ м}$	$y_2 = 0,601 \text{ м}$



$R = \text{const}$
 $q = \text{const}$

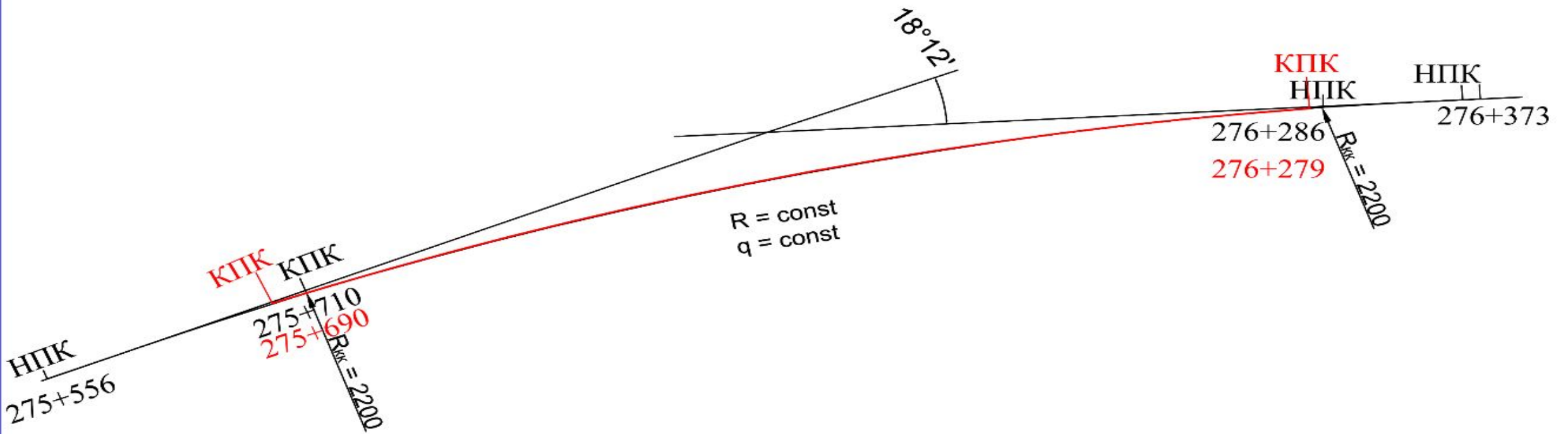
Длина второй переходной кривой $l_{\text{ПК}} = 87 \text{ м}$

Характерные точки криволинейного участка пути

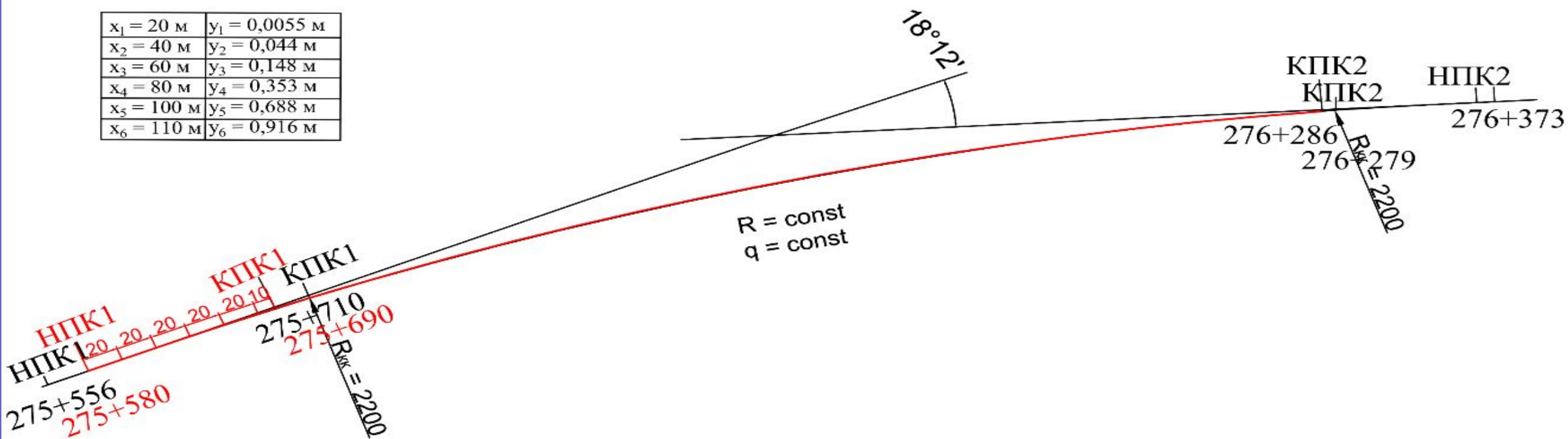


— – Положение существующей кривой

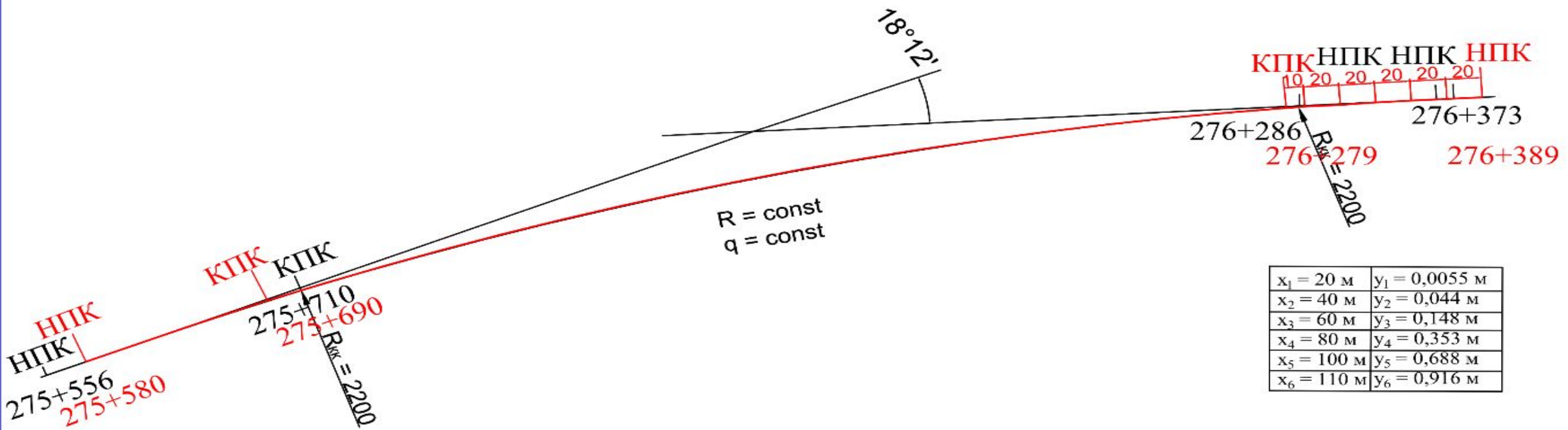
— – Положение проектной кривой



$x_1 = 20 \text{ м}$	$y_1 = 0,0055 \text{ м}$
$x_2 = 40 \text{ м}$	$y_2 = 0,044 \text{ м}$
$x_3 = 60 \text{ м}$	$y_3 = 0,148 \text{ м}$
$x_4 = 80 \text{ м}$	$y_4 = 0,353 \text{ м}$
$x_5 = 100 \text{ м}$	$y_5 = 0,688 \text{ м}$
$x_6 = 110 \text{ м}$	$y_6 = 0,916 \text{ м}$

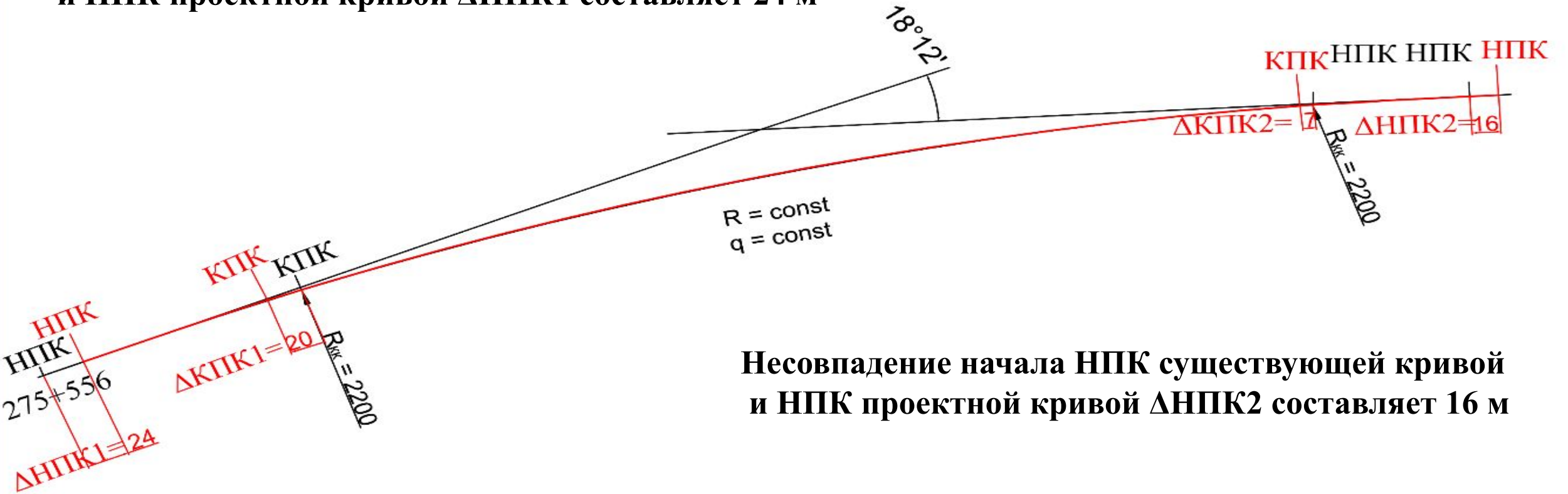


Длина первой переходной кривой $l_{пк} = 110 \text{ м}$



Длина второй переходной кривой $l_{пк} = 110 \text{ м}$

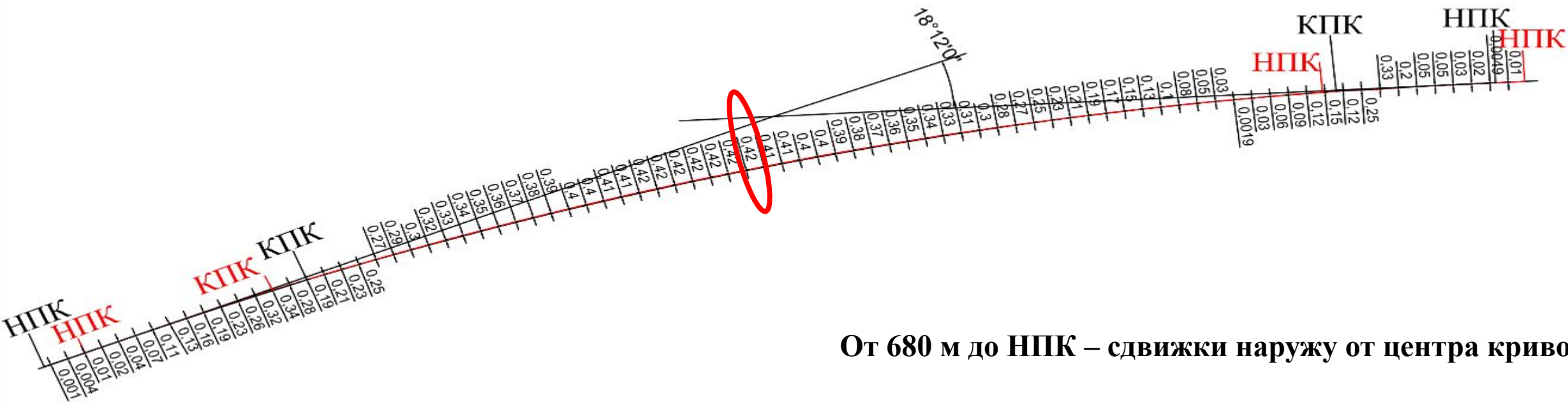
Несовпадение начала НПК существующей кривой и НПК проектной кривой Δ НПК1 составляет 24 м



Несовпадение начала НПК существующей кривой и НПК проектной кривой Δ НПК2 составляет 16 м

Максимальное значение сдвижки = 0,42 м

От 0 м до 680 м – сдвижки внутрь от центра кривой



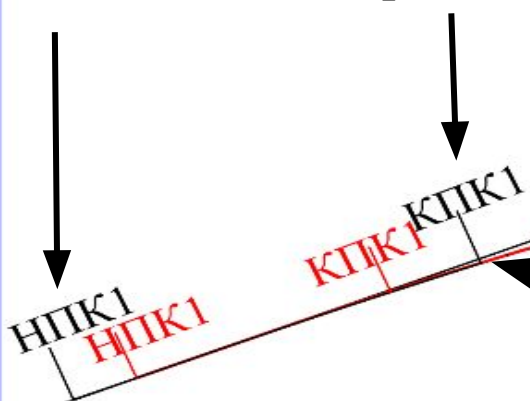
От 680 м до НПК – сдвижки наружу от центра кривой

$$i = 35 / 110 = 0,22$$

$$a_{\text{нпi}} = 140^2 / 13 \cdot 2184 - 0,0061 \cdot 40 = 0,467 \text{ м/с}^2$$

$$\Psi = 0,035 \cdot 140 / 3,6 \cdot 10 = 0,136 \text{ м/с}^3$$

НПК1, КПК1 – проектное положение



$$R_{\text{пр}} = R_{\text{расч}} = 2184 \text{ м}$$

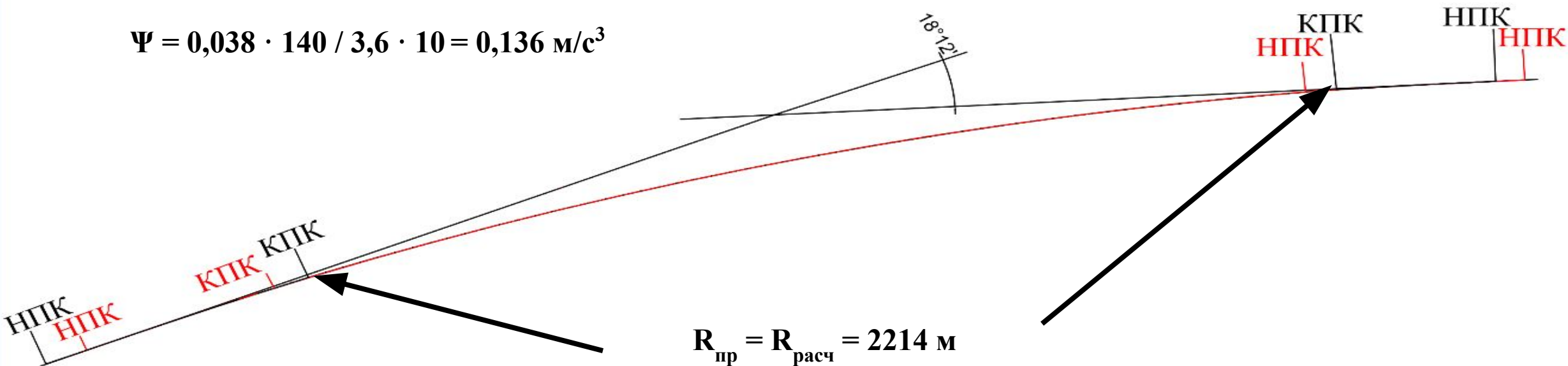
НПК2, КПК2 – проектное положение



$$i = 35 / 110 = 0,22$$

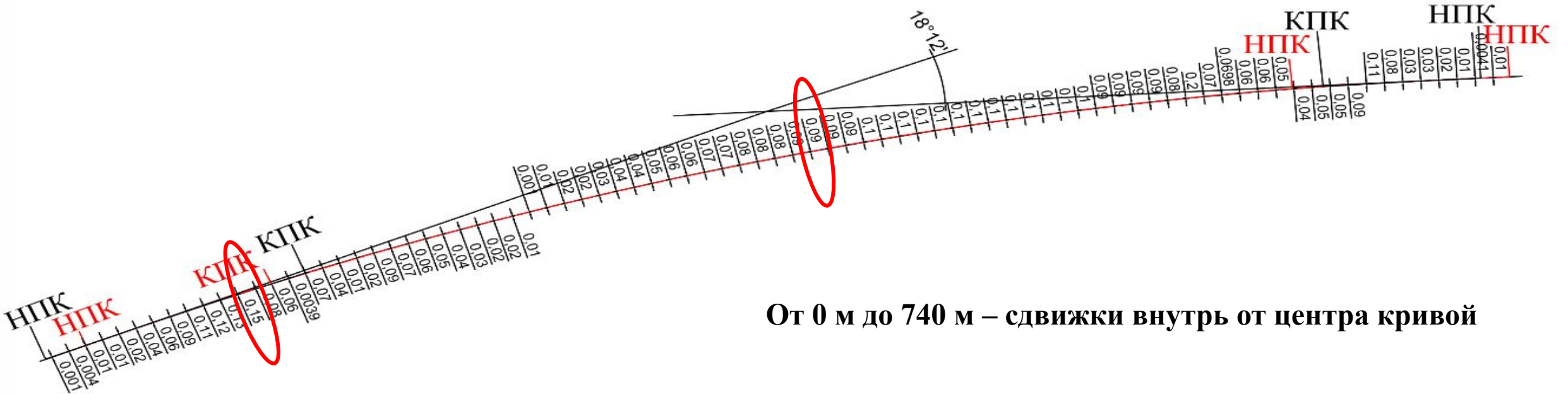
$$a_{\text{ннi}} = 140^2 / 13 \cdot 2214 - 0,0061 \cdot 40 = 0,457 \text{ м/с}^2$$

$$\Psi = 0,038 \cdot 140 / 3,6 \cdot 10 = 0,136 \text{ м/с}^3$$



Максимальное значение сдвижки в круговой кривой = 0,09 м

Максимальное значение сдвижки в переходной кривой = 0,15 м

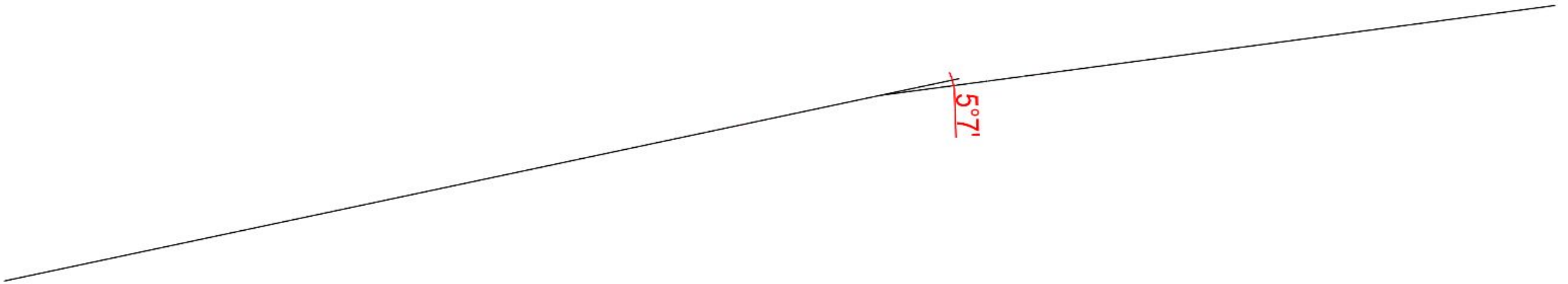


От 0 м до 740 м – сдвижки внутрь от центра кривой

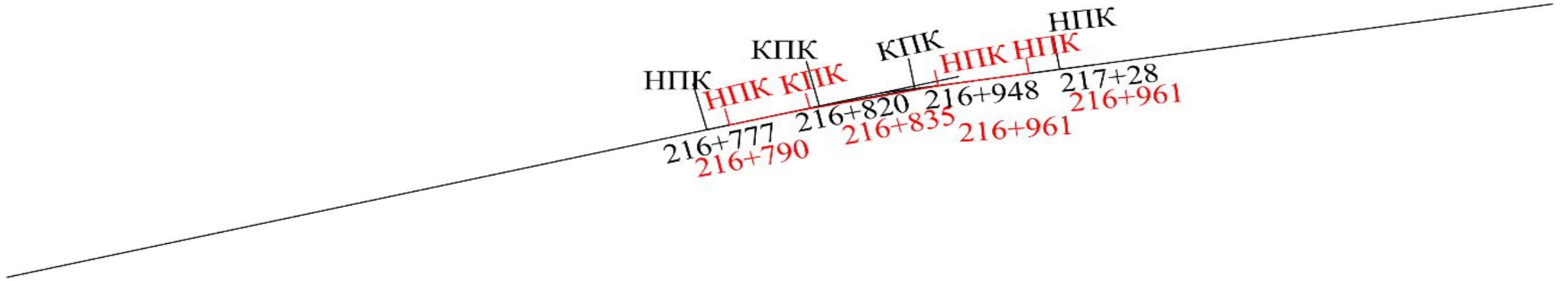
От 740 м до НПК – сдвижки наружу от центра кривой

**КРИВОЛИНЕЙНЫЙ УЧАСТОК ПО
НАПРАВЛЕНИЮ
ЖЛОБИН-ГОМЕЛЬ ПК 216 + 777 - ПК 217 + 28**

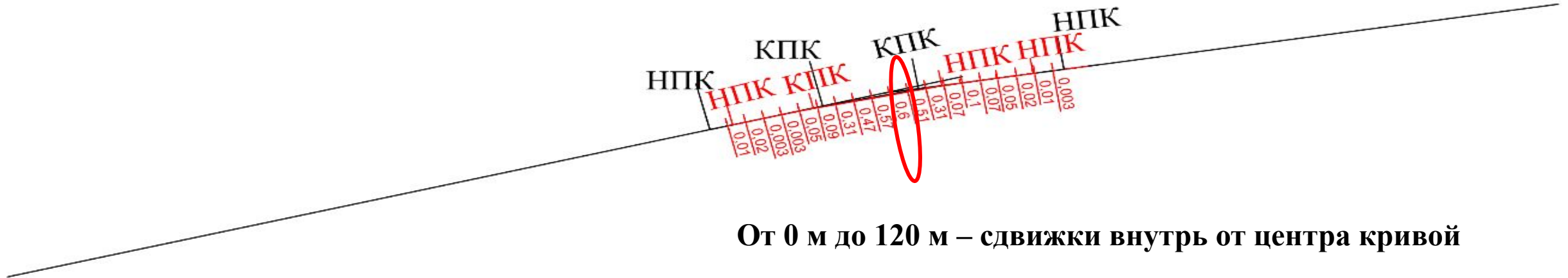
**Угол поворота существующей
кривой $5^{\circ} 7'$**



Характерные точки криволинейного участка пути



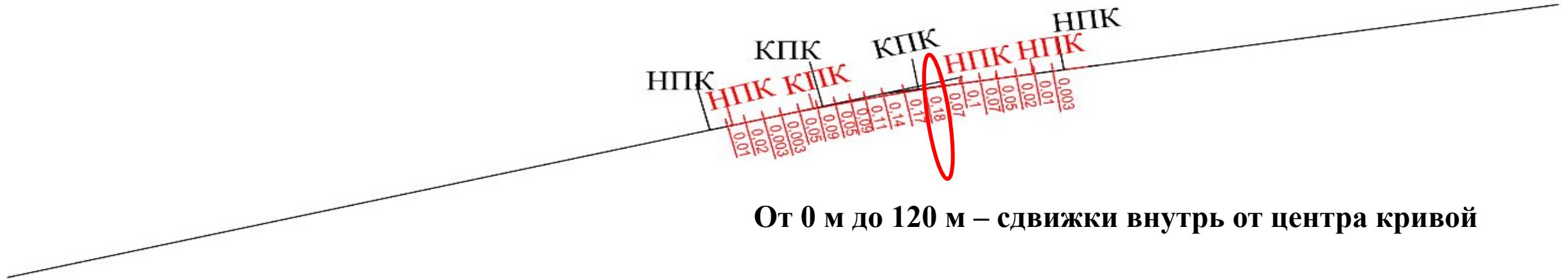
Максимальное значение сдвижки в круговой кривой = 0,60 м



От 0 м до 120 м – сдвижки внутрь от центра кривой

От 120 м до НПК – сдвижки наружу от центра кривой

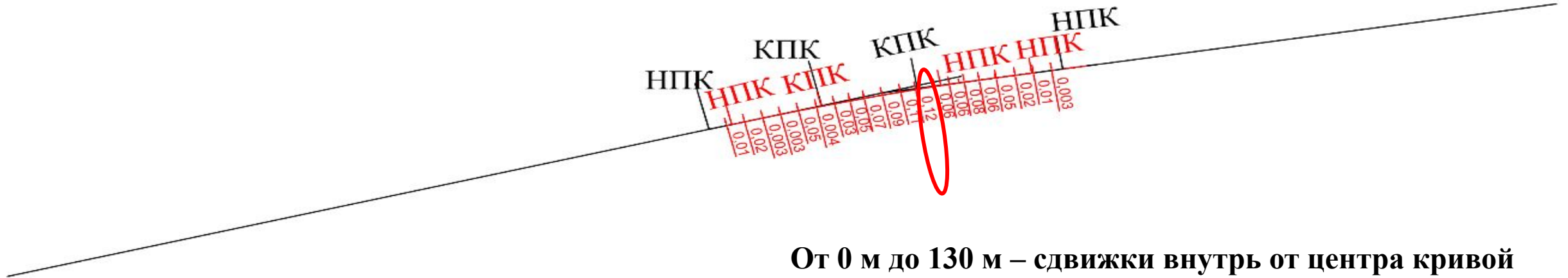
Максимальное значение сдвижки в круговой кривой = 0,18 м



От 0 м до 120 м – сдвижки внутрь от центра кривой

От 120 м до НПК – сдвижки наружу от центра кривой

Максимальное значение сдвижки в круговой кривой = 0,12 м

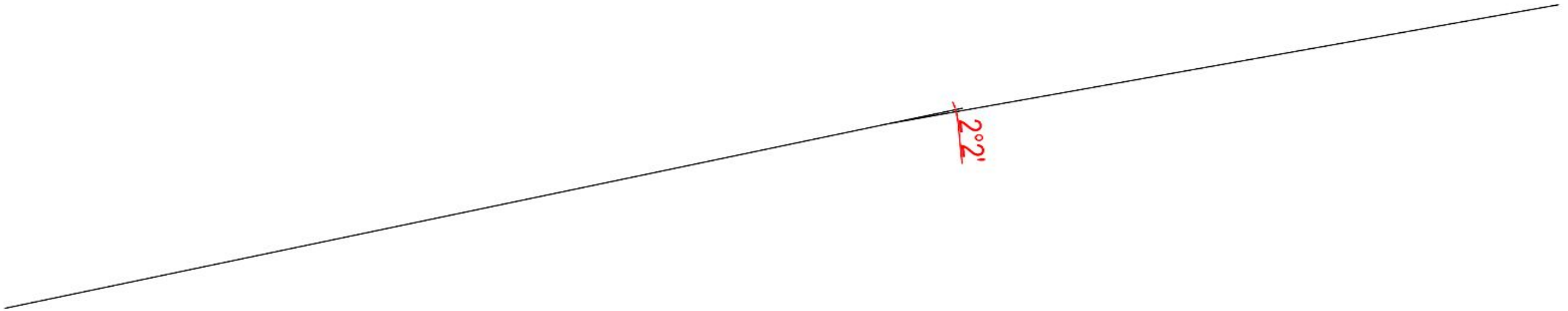


От 0 м до 130 м – сдвижки внутрь от центра кривой

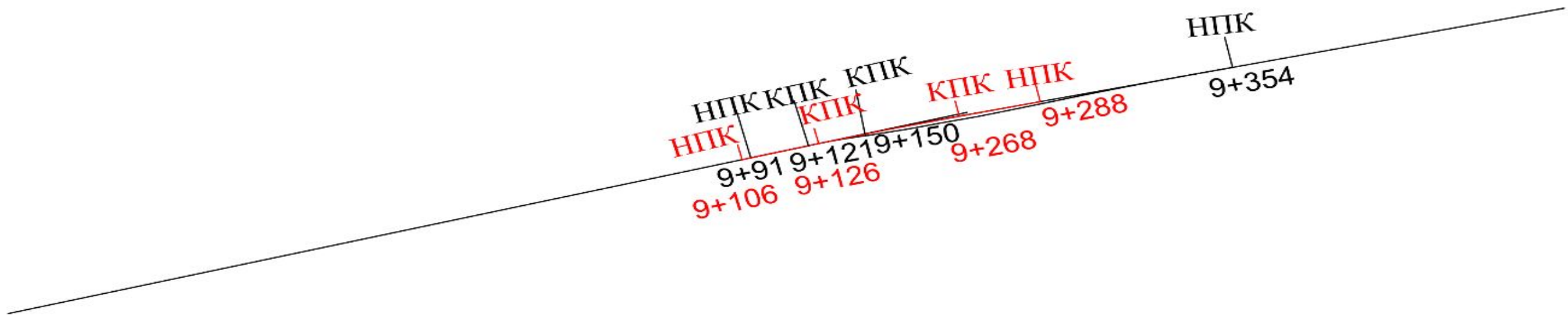
От 130 м до НПК – сдвижки наружу от центра кривой

**КРИВОЛИНЕЙНЫЙ УЧАСТОК ПО
НАПРАВЛЕНИЮ ЖЛОБИН-КАЛИНКОВИЧИ
ПК 9 + 91 - ПК 9 + 354**

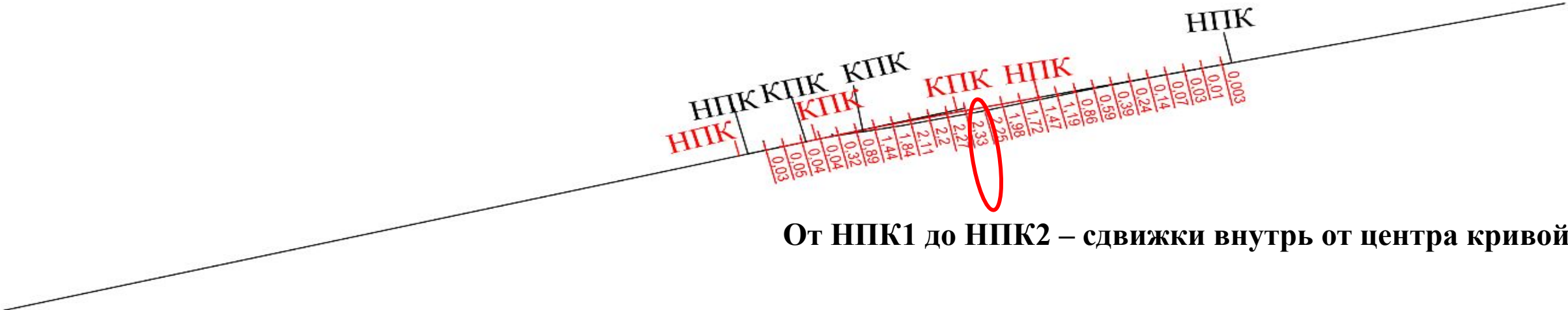
**Угол поворота существующей
кривой 2° 2'**



Характерные точки криволинейного участка пути

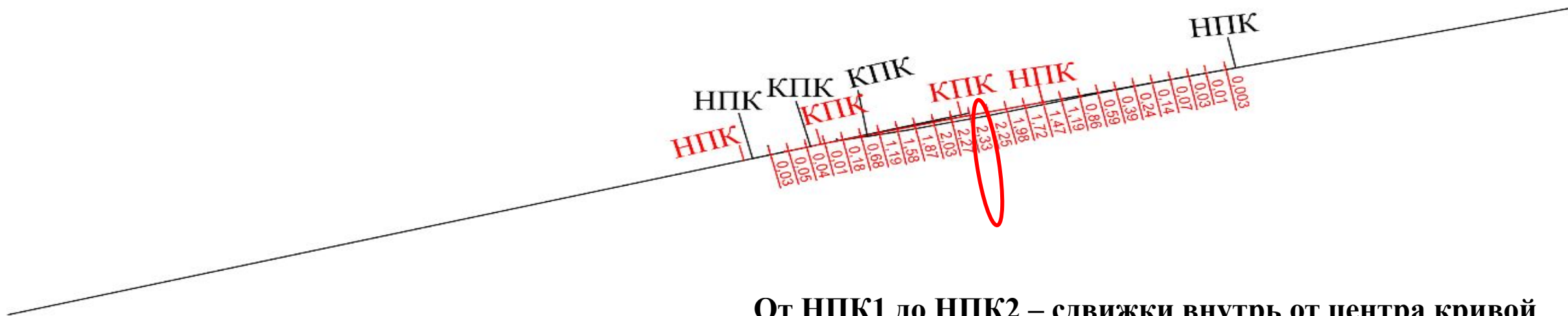


Максимальное значение сдвижки в круговой кривой = 2,33 м



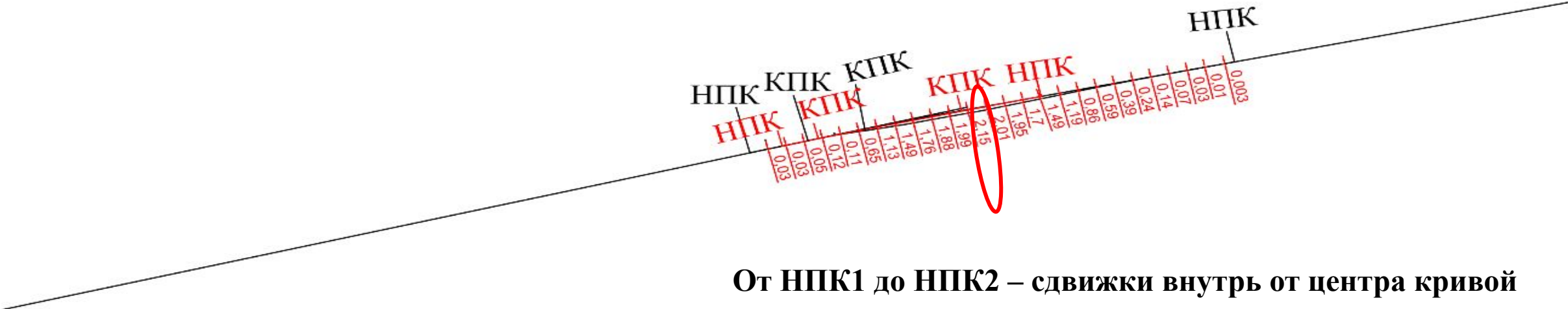
От НПК1 до НПК2 – сдвижки внутрь от центра кривой

Максимальное значение сдвижки в круговой кривой = 2,33 м



От НПК1 до НПК2 – сдвижки внутрь от центра кривой

Максимальное значение сдвижки в круговой кривой = 2,15 м



От НПК1 до НПК2 – сдвижки внутрь от центра кривой

**КРИВОЛИНЕЙНЫЙ УЧАСТОК ПО
НАПРАВЛЕНИЮ ЖЛОБИН-КАЛИНКОВИЧИ
ПК 13 + 893 - ПК 14 + 56**

**Угол поворота существующей
кривой 1° 41'**



1° 41'

Характерные точки криволинейного участка пути



Максимальное значение сдвижки в круговой кривой = 0,14 м



От НПК1 до НПК2 – сдвижки внутрь от центра кривой

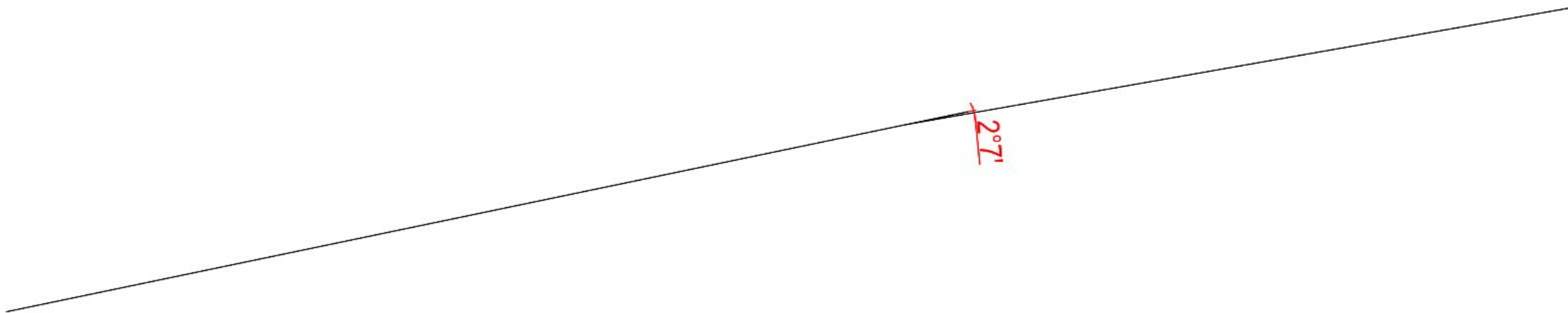
Максимальное значение сдвижки в круговой кривой = 0,10 м



От НПК1 до НПК2 – сдвижки внутрь от центра кривой

**КРИВОЛИНЕЙНЫЙ УЧАСТОК ПО
НАПРАВЛЕНИЮ ЖЛОБИН-МОГИЛЕВ
ПК 272 + 712 - ПК 272 + 890**

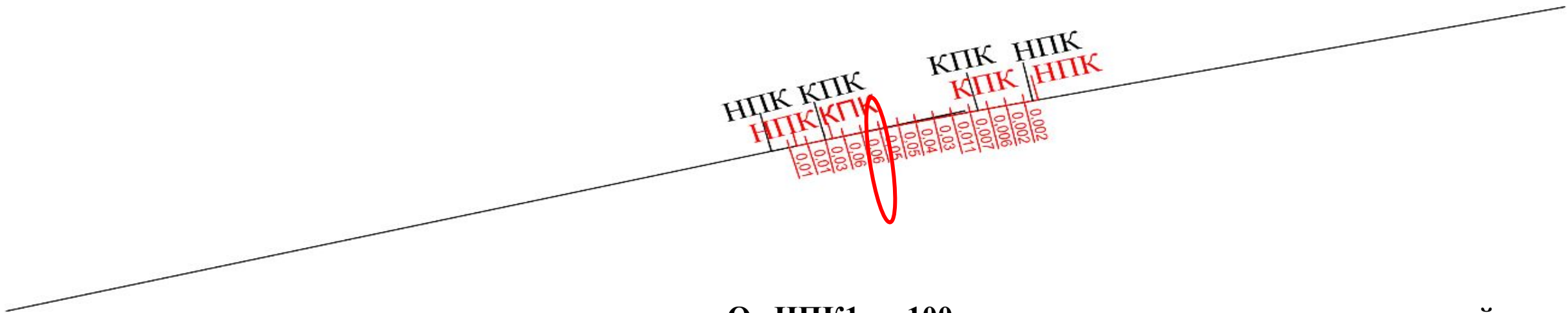
**Угол поворота существующей
кривой 2° 7'**



Характерные точки криволинейного участка пути



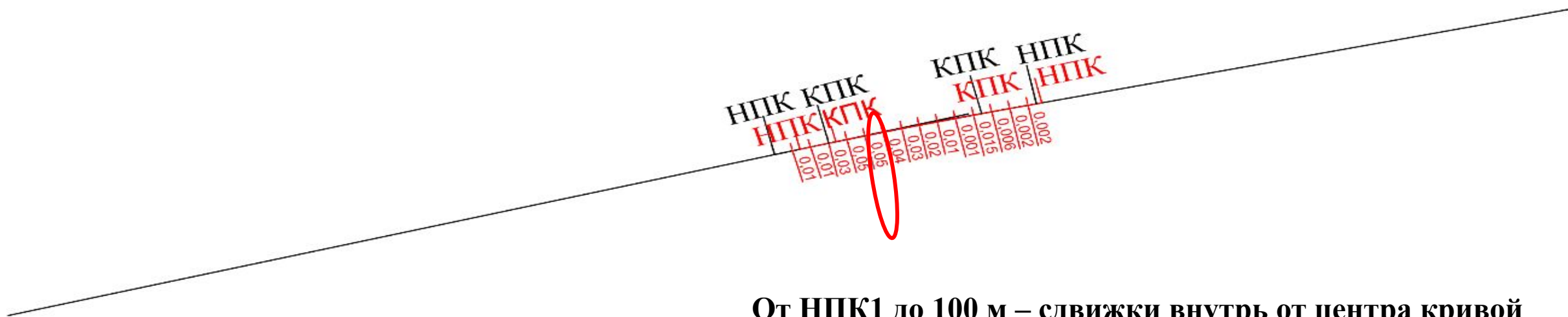
Максимальное значение сдвижки в круговой кривой = 0,06 м



От НПК1 до 100 м – сдвижки внутрь от центра кривой

От 100 м до НПК2 – сдвижки наружу от центра кривой

Максимальное значение сдвижки в круговой кривой = 0,05 м



От НПК1 до 100 м – сдвижки внутрь от центра кривой

От 100 м до НПК2 – сдвижки наружу от центра кривой